

KARAKTERISASI ZAT WARNA KULIT TERONG UNGU (*Solanum melongona* L.) DALAM SUASANA BASA SEBAGAI *PHOTOSENSITIZER* PADA *DYE SENSITIZED SOLAR CELL*



UNIVERSITAS ISLAM NEGERI
ALAUDDIN
M A K A S S A R

Skripsi

Diajukan Untuk Memenuhi Salah Satu Syarat Meraih Gelar Sarjana Sains
Jurusan Kimia Pada Fakultas Sains dan Teknologi
UIN Alauddin Makassar

UNIVERSITAS ISLAM NEGERI
ALAUDDIN
M A K A S S A R
Oleh:
INDAH AYU RISNAH
NIM: 60500111025

**FAKULTAS SAINS DAN TEKNOLOGI
UIN ALAUDDIN MAKASSAR**

2016

PERNYATAAN KEASLIAN SKRIPSI

Mahasiswa yang bertanda tangan di bawah ini:

Nama : Indah Ayu Risnah
NIM : 60500111025
Tempat/Tanggal Lahir : Garentong, 03 Februari 1993
Fakultas/Jurusan : Sains dan Teknologi/ Kimia
Alamat : Garentong, Kec. Tompobulu, Kab. Gowa
Judul : Karakterisasi Zat Warna Kulit Terong Ungu (*Solanum melongena* L.) dalam Suasana Basa Sebagai *Photosensitizer* pada *Dye Sensitized Solar Cell*

Menyatakan dengan sesungguhnya dan penuh kesadaran bahwa skripsi ini benar adalah hasil karya sendiri. Jika dikemudian hari terbukti bahwa merupakan duplikat, tiruan, plagiat atau dibuat oleh orang lain, sebagian atau seluruhnya, maka skripsi dan gelar yang diperoleh karenanya batal secara hukum.

Samata, Maret 2016

Penyusun



Indah Ayu Risnah
NIM. 60500111025

PENGESAHAN SKRIPSI

Skripsi yang berjudul, “**Karakterisasi Zat Warna Kulit Terong Ungu (*Solanum melongona* L.) dalam Suasana Basa sebagai Photosensitizer pada Dye Sensitized Solar Cell**”, yang disusun oleh **Indah Ayu Risnah, NIM: 60500111025**, mahasiswa Jurusan Kimia pada Fakultas Sains dan Teknologi UIN Alauddin Makassar, telah diuji dan dipertahankan dalam sidang munaqasyah yang diselenggarakan pada hari Senin, tanggal 28 Maret 2016 M bertepatan dengan 19 Jumadil Akhir 1437 H, dinyatakan telah dapat diterima sebagai salah satu syarat untuk memperoleh gelar Sarjana dalam Ilmu Kimia, Jurusan Kimia (dengan beberapa perbaikan).

Samata-Gowa, 28 Maret 2016 M.
19 Jumadil Akhir 1437 H.

DEWAN PENGUJI

Ketua	: Dr. Wasilah, S.T., M.T	(.....)
Sekretaris	: Kurnia Ramadani, S.Si., M.Pd	(.....)
Munaqisy I	: Asriani Ilyas, S.Si., M.Si	(.....)
Munaqisy II	: Sjamsiah, S.Si., M.Si., Ph.D	(.....)
Munaqisy III	: Dr. Hasyim Haddade, S.Ag, M.Ag	(.....)
Pembimbing I	: Aisyah, S.Si., M.Si	(.....)
Pembimbing II	: Jawiana Saokani, S.Si., M.Pd	(.....)

Diketahui oleh:

Dekan Fakultas Sains dan Teknologi
UIN Alauddin Makassar.



Prof. Dr. Arifuddin Ahmad, M.Ag
NIP: 19691205 199303 1 001

KATA PENGANTAR

Puji syukur atas kehadiran Allah swt, karena dengan izin dan petunjuk-Nya serta bimbingan dari dosen pembimbing sehingga penulis dapat menyelesaikan skripsi ini dengan judul “Karakterisasi Zat Warna Kulit Terong Ungu (*Solanum melongena* L.) dalam Suasana Basa sebagai *Photosensitizer* pada *Dye Sensitized Solar Cell*” dan tak lupa pula kita haturkan shalawat beserta taslim atas junjungan Nabi Besar Muhammad SAW beserta keluarga dan para sahabatnya.

Maksud penyusunan skripsi ini adalah guna memenuhi salah satu syarat dalam menyelesaikan studi di Jurusan Kimia Fakultas Sains dan Teknologi UIN Alauddin Makassar. Penulis menyadari bahwa selesainya skripsi ini tidak terlepas dari bantuan dan dorongan dari berbagai pihak yang dengan ikhlas membantu penulis dalam menyelesaikan skripsi ini. Ucapan terima kasih penulis persembahkan kepada kedua orang tuaku, H. Saharuddin dan Hj. Masnaeni serta seluruh keluargaku yang tiada henti mendoakan, memotivasi serta setulus hati mendukung dengan dukungan materil dan spiritual kepada penulis yang tidak ternilai harganya. Semoga Allah swt memberikan kesehatan, keberkahan dan senantiasa dalam lindungan-Nya.

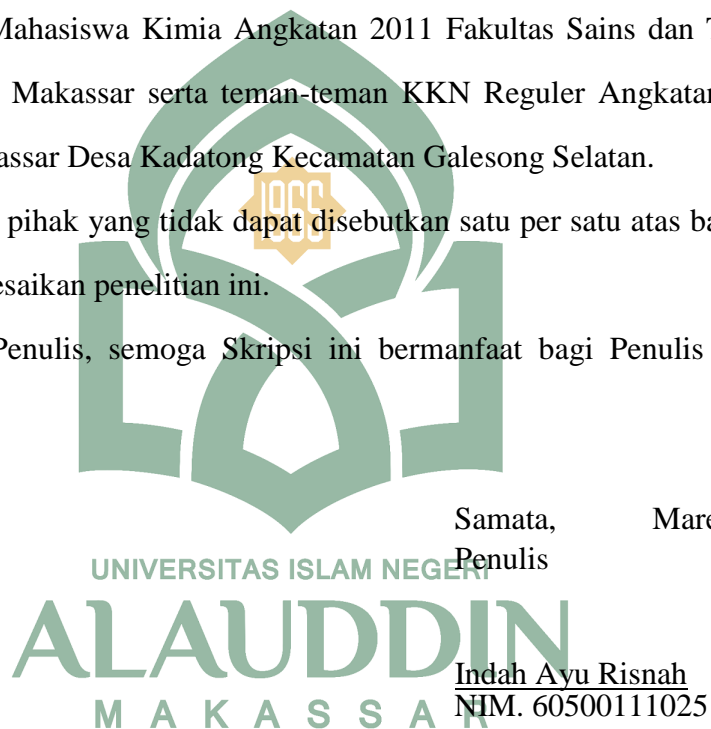
Pada kesempatan ini pula penulis menghaturkan terima kasih yang tulus kepada:

1. Prof. Dr. H. Musafir Pabbabari, M.Si, selaku Rektor UIN Alauddin Makassar.
2. Prof. Dr. H. Arifuddin, M.Ag, selaku Dekan Fakultas Sains dan Teknologi UIN Alauddin Makassar.

3. Sjamsiah, S.Si., M.Si., Ph.D, selaku Ketua Jurusan Kimia Fakultas Sains dan Teknologi UIN Alauddin Makassar sekaligus Penguji II. Terima kasih atas kritik dan saran yang diberikan kepada penulis.
4. Aisyah, S.Si., M.Si, selaku Sekretaris Jurusan Kimia Fakultas Sains dan Teknologi UIN Alauddin Makassar sekaligus Pembimbing I atas segala bimbingan dan bantuan yang diberikan selama penelitian berlangsung sehingga selalu membuka pikiran penulis dalam menyelesaikan penelitian dan skripsi ini.
5. Jawiana Saokani, S.Si., M.Pd, selaku Pembimbing II atas segala bimbingan dan bantuan yang diberikan selama penelitian berlangsung sehingga selalu membuka pikiran penulis dalam menyelesaikan penelitian dan skripsi ini.
6. Asriyani Ilyas, S.Si., M.Si, selaku Penguji I yang berkenan memberikan kritik dan saran bagi penulis.
7. Dr. Hasyim Haddade, S.Ag., M.Ag, selaku Penguji III yang telah memberikan saran bagi penulis.
8. Iswadi, S.Pd., M.Si, atas segala bimbingan dan ilmunya selama penelitian sedang berlangsung.
9. Segenap Dosen Jurusan Kimia, Fakultas Sains dan Teknologi UIN Alauddin Makassar yang dengan sabar mendidik dan memberikan ilmu kepada penulis.
10. Seluruh Staf dan Karyawan Fakultas Sains dan Teknologi UIN Alauddin Makassar.
11. Seluruh Laboran Jurusan Kimia Fakultas Sains dan Teknologi UIN Alauddin Makassar, terkhusus buat Nuraini, S.Si, selaku laboran di Laboratorium Organik atas segala kesabaran serta waktu luang yang diberikan selama proses penelitian berlangsung.

12. Rekan penelitian yang tergabung dalam Tim OSC (Aminuddin B, Muh. Shiddiq Maming, Suriadi dan Nur Hasbi Wahab) yang senantiasa membantu dan menemani penulis dari awal penyusunan proposal hingga penyusunan skripsi ini.
13. Rekan-rekan Mahasiswa Kimia Angkatan 2011 Fakultas Sains dan Teknologi UIN Alauddin Makassar serta teman-teman KKN Reguler Angkatan 50 UIN Alauddin Makassar Desa Kadatong Kecamatan Galesong Selatan.
14. Kepada semua pihak yang tidak dapat disebutkan satu per satu atas bantuannya dalam menyelesaikan penelitian ini.

Akhir kata Penulis, semoga Skripsi ini bermanfaat bagi Penulis dan bagi pembaca umumnya.

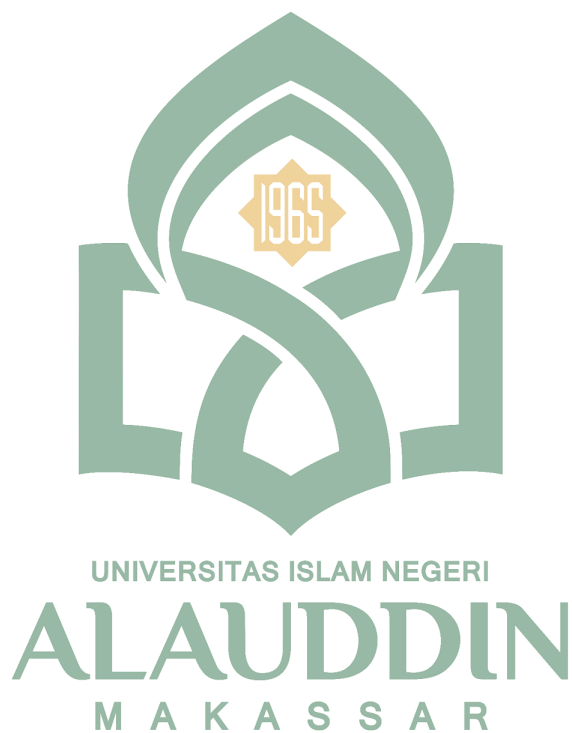


DAFTAR ISI

SAMPUL	i
PERNYATAAN KEASLIAN SKRIPSI	ii
PENGESAHAN SKRIPSI	iii
KATA PENGANTAR	iv-vi
DAFTAR ISI	vii-ix
DAFTAR TABEL	x
DAFTAR GAMBAR	xi
ABSTRAK	xii
ABSTRACT	xiii
BAB I. PENDAHULUAN	1-6
A. Latar Belakang	1-5
B. Rumusan Masalah	5
C. Tujuan Penelitian	6
D. Manfaat Penelitian	6
BAB II. TINJAUAN PUSTAKA	7-31
A. Matahari dalam Perspektif al-Qur'an.....	7-12
B. Sel Surya (Sel Fotovoltaik)	12-14
C. Dye Sensitized Solar Cell (DSSC).....	14-18
1. Komponen DSSC	14-17
2. Prinsip Kerja DSSC.....	17-18
D. Zat Warna Alami (<i>Natural Dye</i>)	18-22
1. Klorofil	19-20
2. Karotenoid.....	20
3. Flavonoid.....	20-21
4. Antosianin	21-22
E. Terong Ungu (<i>Solanum melongena L.</i>).....	23-25
1. Taksonomi Terong Ungu	23
2. Morfologi Tanaman Terong Ungu	24
3. Kandungan Terong Ungu	24-25

F. Metode Ekstraksi Zat Warna	25-27
1. Maserasi	25-26
2. Soxhletasi	26
3. Ekstraksi Ultrasonik	26
4. <i>Microwave Assisted Extraction</i> (MAE)	26-27
G. Metode Fraksinasi	27-28
H. Karakterisasi Zat Warna.....	28-31
1. <i>Gas Chromatography-Mass Spectroscopy</i> (GC-MS)	29
2. Spektroskopi UV-Vis	29-30
3. Spektroskopi Inframerah	30-31
I. <i>Scanning Electron Microscopy</i> (SEM).....	31
BAB III. METODELOGI PENELITIAN.....	32-35
A. Waktu dan Tempat Penelitian.....	32
B. Alat dan Bahan.....	32-33
1. Alat.....	32
2. Bahan	32-33
C. Prosedur Penelitian	33-35
1. Ekstraksi Zat Warna Kulit Terong Ungu	33
2. Variasi pH.....	33
3. Fraksinasi Awal Zat Warna Kulit Terong Ungu (KKCV).....	33
4. Pembuatan Pasta TiO ₂	34
5. Pembuatan Larutan Elektrolit.....	34
6. Pembuatan Elektroda Pembanding	34
7. Rangkaian Perangkat DSSC	34
8. Karakterisasi Zat Warna	34
9. Uji <i>Scanning Electron Microscopy</i>	35
BAB IV. HASIL DAN PEMBAHASAN	36-46
A. Hasil Penelitian	36-38
B. Pembahasan.....	39-46
1. Analisis UV-Vis.....	43-44
2. Analisis FTIR.....	44
3. Analisis GC-MS.....	45-46
BAB V. PENUTUP.....	47
A. Kesimpulan	47
B. Saran.....	47

DAFTAR PUSTAKA	48-52
LAMPIRAN-LAMPIRAN	53-74
RIWAYAT HIDUP.....	75



DAFTAR TABEL

Tabel II.1.	Struktur Utama Antosianin-3-O-glukosida yang Terdapat dalam Buah-buahan dan Masong-masing Panjang Gelombang pada Penyerapan Maksimum di Daerah Sinar Tampak	22
Tabel II.2.	Jenis Ikatan dan Daerah Serapan Molekul Antosianin.....	31
Tabel IV.1.	Zat Warna Kulit Terong Ungu pada Kondisi Basa.....	36
Tabel IV.2	Zat Warna Kulit Terong Ungu Berdasarkan Pemisahan KKCVC	36
Tabel IV.3	Data Efisiensi Zat Warna Kulit Terong Ungu pada Kondisi Asam dan Kondisi Basa	37
Tabel IV.4.	Data Efisiensi Zat Warna Kulit Terong Ungu Berdasarkan Pemisahan KKCVC	37
Tabel IV.5.	Data Hasil Analisis UV-Vis Zat Warna Kulit Terong Ungu pada pH 8	38
Tabel IV.6.	Data Hasil Analisis FTIR Zat Warna Kulit Terong Ungu pada pH 8 ...	38
Tabel IV.7.	Data Hasil Analisis GC-MS Zat Warna Kulit Terong Ungu pada pH 8	38
Tabel IV.8.	Data Berat Molekul Antosianin.....	45



DAFTAR GAMBAR

Gambar II.1. Perbedaan Intensitas Spektrum Cahaya Matahari yang Sampai ke Permukaan Bumi	11
Gambar II.2. Deskripsi Skema Prinsip dan Struktur Sel Surya (Sel Fotovoltaik)	13
Gambar II.3. Skema DSSC	15
Gambar II.4. Skema Prinsip Kerja DSSC	17
Gambar II.5. Struktur Umum Klorofil	20
Gambar II.6. Struktur Umum Karotenoid	20
Gambar II.7. Struktur Umum Flavonoid	21
Gambar II.8. Struktur Umum Antosianin	22
Gambar II.9. Perubahan Struktur Antosianin berdasarkan pH	22
Gambar II.10. Terong Ungu (<i>Solanum melongena</i> L.)	23
Gambar II.11. Rangkaian Alat MAE	27
Gambar II.12. Diagram Energi Transisi Elektron	30
Gambar II.13. Struktur Umum Antosianin	30
Gambar II.14. Komponen-Komponen SEM	31
Gambar IV.1. Ikatan Antara TiO_2 dan Antosianin	42
Gambar IV.2. Hasil Uji SEM TiO_2 yang dilapisi Zat Warna pada Perbesaran Skala 10μ	42
Gambar IV.3. Hasil Analisis UV-Vis Zat Warna Kulit Terong Ungu pada pH 8	43
Gambar IV.4. Hasil Analisis FTIR Zat Warna Kulit Terong Ungu pada pH 8	44
Gambar IV.5 Hasil Analisis GC-MS Zat Warna Kulit Terong Ungu pada pH 8	45
Gambar IV.6. Fragmentasi Molekul Pelargonidin	46

ABSTRAK

Nama : Indah Ayu Risnah

NIM : 60500111025

Judul Skripsi : Karakterisasi Zat Warna Kulit Terong Ungu (*Solanum melongena* L.) dalam Suasana Basa sebagai Fotosensitizer pada *Dye Sensitized Solar Cell*

Dye Sensitized Solar Cell (DSSC) merupakan sel surya generasi terbaru dengan memanfaatkan zat warna sebagai *photosensitizer*. Pada penelitian ini, digunakan kulit terong ungu sebagai *photosensitizer*. Penelitian ini bertujuan untuk mengetahui nilai efisiensi DSSC dan karakterisasi zat warna kulit terong ungu. Zat warna diperoleh dari hasil ekstraksi menggunakan pelarut HCl 1% dalam metanol dengan bantuan gelombang ultrasonik. Zat warna yang digunakan sebagai *photosensitizer* divariasikan warnanya pada suasana asam (pH 1) dan basa (pH 8) serta berdasarkan pemisahan dengan KKCVC menggunakan eluen n-heksan:etil asetat (8:2 dan 5:5) dan eluen metanol:etil asetat (8:2). Nilai konversi energi matahari menjadi energi listrik (η) DSSC paling tinggi dihasilkan oleh *photosensitizer* pada pH 8 sebesar 0,0211%. Karakterisasi zat warna pada pH 8 dilakukan dengan analisis UV-Vis, FTIR dan GC-MS. Hasil karakterisasi dengan UV-Vis menunjukkan adanya serapan pada panjang gelombang 521 nm, 505 nm dan 535 nm. Karakterisasi FTIR terdapat beberapa jenis ikatan yaitu Ar-OH, C-H dan C=C. Karakterisasi GC-MS menunjukkan beberapa fragmen khusus yaitu $m/z = 121$, $m/z = 141$, $m/z = 271,23$, $m/z = 197$ dan $m/z = 169$. Berdasarkan hasil karakterisasi dugaan senyawa pada zat warna kulit terong ungu dalam suasana basa yaitu senyawa pelargonidin.

Kata kunci : DSSC, efisiensi, *photosensitizer*, sel surya dan *Solanum melongena* L.

ABSTRACT

Name : Indah Ayu Risnah

NIM : 60500111025

Thesis Title : Characterization Dye of Eggplant Peels in the base condition as a photosensitizer for Dye Sensitized Solar Cell

Dye Sensitized Solar Cell (DSSC) is the latest generation of solar cells by using a dye as a photosensitizer. This study used the dye as a photosensitizer from eggplant peels. This study aims to determine the efficiency of DSSC and to characterize the dye of eggplant peels. The dye obtained from the maceration using HCl 1% in methanol with the aid of ultrasonic waves. The dye than used as a photosensitizer under acidic (pH 1) and alkaline (pH 8) condition. In addition, the separation by KKCVC using n-hexane: ethyl acetate (8:2 and 5:5) and methanol:ethyl acetate (8:2) was done. The highest efficiency value of solar energy into electrical energy (η) is generated by the photosensitizer at pH 8 up to 0.0211%. The dye at pH 8 was analyzed by UV-Vis, FTIR and GC-MS. The UV-Vis data indicated absorptions at wavelength of 521 nm, 505 nm and 535 nm. FTIR data showed several band which correspond to Ar-OH, C-H and C=C. From the GC-MS, it can be some spesific fragments, $m/z = 121$, $m/z = 141$, $m/z = 271.23$, $m/z = 197$ and $m/z = 169$. In general, all spectroscopic data of the pigment in base condition (pH 8) the highest efficiency value, support that which produce it is pelargonidin.

Keywords : DSSC, eficiency, photosensitizer, solar cells and Solanum melongena L.



UNIVERSITAS ISLAM NEGERI
ALAUDDIN
M A K A S S A R

BAB I

PENDAHULUAN

A. Latar Belakang

Energi listrik merupakan salah satu kebutuhan yang sangat penting dalam kehidupan umat manusia di era globalisasi ini. Kebutuhan energi listrik khususnya di Indonesia, dari tahun ke tahun semakin meningkat seiring dengan bertambah pesatnya perkembangan teknologi dan industri. Oleh sebab itu, permintaan penyediaan sumber energi listrik akan terus bertambah.

Berdasarkan data *Blueprint* Pengelolaan Energi Nasional tahun 2005-2025, Indonesia menjadi negara yang memiliki intensitas energi yang paling tinggi dibandingkan dengan beberapa negara lainnya. Akan tetapi, hal tersebut menjadikan Indonesia sebagai negara yang tidak efisien dalam memanfaatkan penggunaan energi. Mengingat semakin tinggi intensitas energi maka penggunaan energi semakin tidak efisien. Hal tersebut mengakibatkan semakin menipisnya cadangan energi yang tersedia.

Menurut Kepala Badan Geologi Kementerian Energi dan Sumber Daya Mineral (ESDM) Republik Indonesia, pada tahun 2014 cadangan minyak bumi di tanah air hanya mencukupi untuk 23 tahun ke depan. Sedangkan, gas bumi dan batubara masing-masing hanya mencukupi hingga 50 dan 80 tahun ke depan. Untuk mengatasi krisis energi yang dihadapi Indonesia, maka pemerintah dalam Peraturan Presiden Nomor 79 tahun 2014 tentang Kebijakan Energi Nasional merumuskan bahwa di tahun 2025 penggunaan energi fosil, seperti minyak bumi, batubara dan gas bumi harus diminimalkan.

Hingga saat ini, energi listrik masih sangat bergantung pada bahan bakar fosil, sehingga mengakibatkan semakin berkurangnya cadangan sumber daya energi fosil terutama minyak bumi. Kebutuhan energi yang semakin meningkat tiap tahunnya sangat berbanding terbalik dengan proses pembentukan energi fosil yang membutuhkan waktu yang sangat lama bahkan bertahun-tahun. Selain itu, bahan bakar fosil dapat mengakibatkan polusi lingkungan yang membahayakan umat manusia. Oleh karena itu, berbagai upaya dilakukan untuk mencari energi alternatif sebagai pengganti bahan bakar fosil yang dapat diperbaharui (*renewable*), murah serta ramah lingkungan. Salah satu sumber energi terbarukan yang saat ini mendunia dikembangkan sebagai pengganti bahan bakar fosil yaitu dengan memanfaatkan energi matahari.

Pada dasarnya, umat manusia sejak dahulu telah dituntut untuk memikirkan tanda-tanda kekuasaan Allah swt, salah satunya dengan cara mempelajari dan meneliti tentang matahari. Sebagaimana firman Allah swt dalam Q.S Yunus (10) : 6 yang berbunyi:

إِن فِي آخْتِلَافِ اللَّيْلِ وَالنَّهَارِ وَمَا خَلَقَ اللَّهُ فِي السَّمَوَاتِ وَالْأَرْضِ لآيَاتٍ لِّقَوْمٍ
يَتَّقُونَ ﴿٦﴾

Terjemahnya :

Sesungguhnya pada pertukaran malam dan siang itu dan pada apa yang diciptakan Allah di langit dan di bumi, benar-benar terdapat tanda-tanda (kekuasaan-Nya) bagi orang-orang yang bertakwa (Soenarjo, dkk, 1971: 306).

Ayat di atas menjelaskan tentang salah satu tanda-tanda kekuasaan-Nya, dijelaskan bahwa sesungguhnya dalam pergantian malam dan siang, perbedaan panjang pendeknya, juga dalam penciptaan langit dan bumi beserta seluruh makhluk yang ada didalamnya, terdapat bukti-bukti yang jelas dan alasan-alasan yang nyata

atas ketuhanan Sang Pencipta dan kekuasaan-Nya terhadap orang-orang yang menghindari kemurkaan-Nya dan takut kepada azab-Nya.

Dalam ayat di atas terdapat kata “ikhtilaf”, yang bisa diartikan dengan “perbedaan” atau “pergantian”. Ikhtilaf yang berarti perbedaan mengandung makna bahwa malam dan siang adalah dua cahaya yang masing-masing memiliki keistimewaan. Perbedaan antara siang dan malam merupakan sebuah gejala alam di mana seluruh makhluk hidup di planet ini tunduk kepada-Nya, seperti di sebut pada tempat-tempat lain dalam al-Qur’an (Shihab, 2002: 22). Hal tersebut menunjukkan bahwa Allah swt mengingatkan umat manusia akan begitu dalamnya arti yang dikandung dalam siang dan malam sebagai gejala alam, serta mendorong para cendekiawan untuk berpikir dan mengadakan penelitian.

Dalam *Tafsir al-Muntakhab*, firman-Nya: *wa lahu iktilaf al-lail wa an-nahar* (baginya perbedaan malam dan siang) dikomentari antara lain lebih kurang sebagai berikut: “Perbedaan siang dan malam ini menimbulkan dua hal yaitu perbedaan waktu panjang pendeknya (durasi) dan perbedaan dalam beberapa gejala alam yang dapat dilihat (Shihab, 2002: 22).

Sinar matahari mengandung beberapa warna, visibel dan tak visibel, yang masing-masing berbeda panjang gelombangnya. Gelombang itu sendiri memiliki beberapa ciri seperti refraksi, refleksi, separasi, interpenetrasi, polarisasi dan inklinasi. Apabila tanda-tanda itu berinteraksi dengan atmosfer pada kondisi tertentu, sebagai akibatnya akan terjadi gejala siang seperti fatamorgana, pelangi, korona matahari dan gejala-gejala lainnya. Belakangan ini ditemukan bahwa matahari mempunyai lapisan luar yang sangat tipis dan melebar sangat jauh sampai hampir menyentuh atmosfer. Lapisan itulah yang menghasilkan beraneka warna sinar

kornetis. Selain sinar yang muncul dari matahari terdapat juga sinar yang muncul dari partikel-partikel yang terpancar dari kawasan matahari sangat aktif dan membawa aliran listrik dan sinar tajam ultraviolet (Shihab, 2002: 409-410).

Letak geografis Indonesia yang berada pada daerah khatulistiwa menyebabkan pancaran sinar matahari yang diterima sangatlah besar. Sehingga, Indonesia memiliki potensi yang sangat besar untuk mengembangkan sistem yang dapat mengkonversi energi matahari menjadi energi listrik yang dikenal dengan istilah sel surya atau dalam dunia internasional lebih dikenal dengan istilah *solar cell* atau *photovoltaic*.

Dewasa ini, sel surya merupakan energi alternatif yang mulai dikembangkan pada beberapa negara di dunia. Sel surya merupakan perangkat yang digunakan untuk mengubah energi matahari menjadi energi listrik. Mekanisme kerja sel surya berdasarkan pada efek fotovoltaiik. Seiring dengan kemajuan teknologi, telah dikembangkan sel surya generasi baru yang lebih murah serta bahan dasarnya berupa zat warna (*dye*). Sel surya tersebut, dikenal dengan istilah *Dye Sensitized Solar Cell* (DSSC).

Hingga saat ini, terdapat dua jenis zat warna yang biasa digunakan sebagai *photosensitizer* dalam DSSC, yaitu zat warna sintesis dan zat warna alami. Zat warna sintesis biasanya menggunakan senyawa organik logam berbahan dasar ruthenium kompleks. Zat warna sintesis pada umumnya cukup mahal. Sedangkan zat warna alami yang berupa klorofil, antosianin, flavonoid dan karotenoid dapat diekstraksi dari bagian-bagian tumbuhan seperti, bunga, daun dan buah.

Pada penelitian sebelumnya, zat warna antosianin yang terdapat pada bagian-bagian tumbuhan telah dimanfaatkan sebagai *photosensitizer* pada DSSC. Sekelompok peneliti di China, Zhou, dkk (2011) telah melakukan penelitian dari dua

puluh jenis zat warna alami dari tumbuhan yaitu *begonia*, kulit jeruk kuprut, *rhedodendron*, *fructus lycii*, *marigold*, *perilla*, *herba artemiseae scopariae*, *China lorepetai*, mawar kuning, *flowery knotweed*, *bauhinia tree*, *petunia*, *lithospermum*, bunga violet, mawar Cina, mawar, lili, kopi dan *broadleaf holly leaf* dan kulit manggis. Dari dua puluh jenis zat warna alami tersebut yang memiliki efisiensi konversi paling tinggi yaitu kulit manggis (1,17%). Alhamed, dkk (2012) telah melakukan penelitian terhadap beberapa tumbuhan yang mengandung zat warna. Dari hasil penelitiannya, diperoleh efisiensi paling tinggi pada *raspberries* sebesar 1,50%. Hug, dkk (2014) telah melakukan penelitian terhadap 12 jenis tumbuhan yang mengandung zat warna antosianin dengan efisiensi yang paling tinggi pada *C. odontophyllum + ixora sp.* sebesar 1,55%. Chien dan Hsu (2013) telah melakukan penelitian pada zat warna antosianin dengan menggunakan variasi pH yaitu 2, 4, 6, 8, 10 dan 12, efisiensi yang paling tinggi 1,184±0,051% diperoleh pada antosianin dengan pH 8.

Berdasarkan uraian latar belakang di atas. Maka, pada penelitian ini dimanfaatkan limbah kulit terong ungu (*Solanum melongena* L.) yang memiliki kandungan antosianin (Kuroda dan Wada, 1933) sebagai *photosensitizer* pada DSSC.

B. Rumusan Masalah

Rumusan masalah dari penelitian ini, yaitu:

1. Berapa nilai efisiensi DSSC dengan menggunakan zat warna kulit terong ungu sebagai *photosensitizer*?
2. Bagaimana karakteristik zat warna kulit terong ungu yang efisien digunakan sebagai *photosensitizer*?

C. Tujuan Penelitian

Tujuan dari penelitian ini, yaitu:

1. Untuk menentukan nilai efisiensi DSSC zat warna kulit terong ungu sebagai *photosensitizer*.
2. Untuk melakukan karakterisasi zat warna kulit terong ungu yang efisien digunakan sebagai *photosensitizer*.

D. Manfaat Penelitian

Manfaat dari penelitian ini, yaitu:

1. Memberikan informasi tentang efisiensi zat warna kulit terong ungu sebagai *photosensitizer* pada DSSC dalam konversi energi matahari menjadi energi listrik.
2. Memberikan informasi tentang karakteristik zat warna kulit terong ungu dengan menggunakan spektrofotometer UV-Vis, IR (*Infrared*) dan GC-MS (*Gas Chromatography-Mass Spectroscopy*).
3. Menghasilkan sel surya dengan memanfaatkan bahan-bahan organik yang mudah diperoleh di lingkungan sekitar.
4. Sebagai bahan rujukan bagi peneliti lain yang ingin melakukan penelitian di bidang yang sama.

BAB II

TINJAUAN PUSTAKA

A. Matahari dalam Perspektif Al-Qur'an

Matahari merupakan pusat tata surya yang memancarkan energi yang sangat besar. Matahari bagi bumi merupakan sumber panas dan cahaya ketika siang hari. Proses penciptaan matahari di alam semesta telah tertulis dalam al-Qur'an. Sebagaimana firman Allah swt dalam Q.S Al-A'raaf (7): 54 yang berbunyi:

إِنَّ رَبَّكُمُ اللَّهُ الَّذِي خَلَقَ السَّمَوَاتِ وَالْأَرْضَ فِي سِتَّةِ أَيَّامٍ ثُمَّ اسْتَوَىٰ عَلَى الْعَرْشِ
يُغْشِي اللَّيْلَ النَّهَارَ يَطْلُبُهُ حَثِيثًا وَالشَّمْسَ وَالْقَمَرَ وَالنُّجُومَ مُسَخَّرَاتٍ بِأَمْرِهِ ۗ أَلَا لَهُ
الْخَلْقُ وَالْأَمْرُ ۗ تَبَارَكَ اللَّهُ رَبُّ الْعَالَمِينَ

Terjemahnya:

UNIVERSITAS ISLAM NEGERI

Sesungguhnya Tuhan kamu ialah Allah yang telah menciptakan langit dan bumi dalam enam masa, lalu Dia bersemayam di atas 'Arsy. Dia menutupkan malam kepada siang yang mengikutinya dengan cepat, dan (diciptakan-Nya pula) matahari, bulan dan bintang-bintang (masing-masing) tunduk kepada perintah-Nya. Ingatlah, menciptakan dan memerintah hanyalah hak Allah. Maha suci Allah, Tuhan semesta alam (Soenarjo, dkk, 1971: 230).

Menurut Abdullah (1994: 391), proses penciptaan langit dan bumi dan apa yang ada di antara keduanya itu berlangsung selama enam hari, yaitu pada hari Ahad sampai hari Jumat. Sedangkan untuk hari ketujuh tidak terjadi proses penciptaan, sehingga pada hari tersebut disebut hari sabtu yang berarti pemutusan/penghentian. Sedangkan menurut Asy-Syuyuthi dan Al-Mahalliy (2009), sesungguhnya Allah menciptakan langit dan bumi dalam enam masa (menurut ukuran hari di dunia ataupun yang sepadan dengannya). Di mana, pada penciptaan langit dan bumi belum

terdapat matahari yang artinya pada saat itu, masih dalam keadaan gelap gulita. Akan tetapi, jika Allah menghendaknya maka niscaya Dia dapat menciptakan matahari dalam sekejap mata.

Pembahasan matahari dalam al-Qur'an tidak hanya sebatas pada penciptaannya saja. Akan tetapi, dalam ayat lain dijelaskan tentang peredaran matahari sesuai dengan waktu yang telah ditetapkan oleh Allah swt. Sebagaimana firman Allah swt dalam Q.S Al-Anbiyaa' (21): 33 yang berbunyi:

وَهُوَ الَّذِي خَلَقَ اللَّيْلَ وَالنَّهَارَ وَالشَّمْسَ وَالْقَمَرَ كُلٌّ فِي فَلَكٍ يَسْبَحُونَ ﴿٣٣﴾

Terjemahnya:

Dan Dialah yang telah menciptakan malam dan siang, matahari dan bulan. masing-masing dari keduanya itu beredar di dalam garis edarnya (Soenarjo, dkk, 1971: 499).

Dalam ayat di atas, Allah swt kembali mengingatkan salah satu tanda kekuasaan-Nya kepada umat manusia melalui penciptaan malam dan siang. Malam diciptakan dengan kegelapan dan ketenangannya sedangkan siang diciptakan dengan cahaya dan kesibukannya. Diantara malam dan siang itu terdapat bulan dan matahari sebagai penerang. Di mana bulan dan matahari memiliki cahaya masing-masing yang tidaklah sama. Selain itu, bulan dan matahari memiliki garis edarnya sendiri (Abdullah, 1994: 448-449). Sebagaimana Allah swt berfirman dalam Q.S Az-Zumar (39): 5 yang berbunyi:

خَلَقَ السَّمَوَاتِ وَالْأَرْضَ بِالْحَقِّ يُكَوِّرُ اللَّيْلَ عَلَى النَّهَارِ وَيُكَوِّرُ النَّهَارَ عَلَى اللَّيْلِ
وَسَخَّرَ الشَّمْسَ وَالْقَمَرَ كُلٌّ يَجْرِي لِأَجَلٍ مُّسَمًّى ۗ أَلَا هُوَ الْعَزِيزُ الْغَفُورُ ﴿٥﴾

Terjemahnya:

Dia menciptakan langit dan bumi dengan (tujuan) yang benar; Dia menutupkan malam atas siang dan menutupkan siang atas malam dan menundukkan

matahari dan bulan, masing-masing berjalan menurut waktu yang ditentukan. ingatlah Dialah yang Maha Perkasa lagi Maha Pengampun (Soenarjo, dkk, 1971: 745).

Ayat diatas menjelaskan tentang kekuasaan Allah swt dalam proses pergantian siang dan malam. Di mana dalam proses pergantian siang dan malam sesuai dengan waktu yang ditetapkan-Nya. Pergantian itu terus terjadi tanpa ada yang pernah saling mendahului (Abdullah, 1994: 89).

Dalam ayat lain, Allah swt berfirman dalam Q.S Yunus (10): 5 yang berbunyi:

هُوَ الَّذِي جَعَلَ الشَّمْسَ ضِيَاءً وَالْقَمَرَ نُورًا وَقَدَرَهُ مَنَازِلَ لِتَعْلَمُوا عَدَدَ السِّنِينَ وَالْحِسَابَ مَا خَلَقَ اللَّهُ ذَلِكَ إِلَّا بِالْحَقِّ يُفَصِّلُ الْآيَاتِ لِقَوْمٍ يَعْلَمُونَ

Terjemahnya:

Dia-lah yang menjadikan matahari bersinar dan bulan bercahaya dan ditetapkan-Nya manzilah-manzilah (tempat-tempat) bagi perjalanan bulan itu, supaya kamu mengetahui bilangan tahun dan perhitungan (waktu). Allah tidak menciptakan yang demikian itu melainkan dengan hak. Dia menjelaskan tanda-tanda (kebesaran-Nya) kepada orang-orang yang mengetahui.

Pada pangkal ayat diatas terdapat kata *dhiya'* dan *nur*. Para ulama terdahulu memahami bahwa kata *dhiya'* adalah cahaya yang amat terang. Namun, seorang ahli tafsir tentang ayat-ayat *kauniyah* yaitu Hanafi Ahmad membuktikan bahwa dalam al-Qur'an kata *dhiya'* digunakan untuk setiap benda yang menghasilkan cahayanya sendiri, seperti api (Q.S Al-Baqarah (2):17), kilat (Q.S Al-Baqarah (2):20) serta minyak zaitun (An-Nur (24):35). Penggunaan kata *dhiya'* dalam ayat di atas untuk matahari membuktikan bahwa cahaya matahari berasal dari dirinya sendiri bukan pantulan dari benda lain. Selain itu, menurut Asy Sya'rawi penggunaan kata *dhiya'* untuk matahari dikarenakan cahaya matahari menghasilkan panas atau kehangatan. Berbeda halnya dengan bulan yang menggunakan kata *nur*, di mana sinar yang dihasilkan oleh bulan merupakan cahaya pantulan dari matahari dan juga cahaya yang

dihasilkan oleh bulan tidak menimbulkan kehangatan (Shihab, 2002: 20).

Sebagaimana firman Allah swt dalam Q.S Nuh (71) : 16 yang berbunyi:

وَجَعَلَ الْقَمَرَ فِيهِنَّ نُورًا وَجَعَلَ الشَّمْسَ سِرَاجًا ﴿١٦﴾

Terjemahnya:

Dan Allah menciptakan padanya bulan sebagai cahaya dan menjadikan matahari sebagai pelita (Soenarjo, dkk, 1971: 979).

Ayat diatas menjelaskan tentang penciptaan matahari sebagai pelita.

Sebagimana firman Allah swt dalam Q.S An-Naba (78): 13 yang berbunyi:

وَجَعَلْنَا سِرَاجًا وَهَّاجًا ﴿١٣﴾

Terjemahnya:

Dan Kami jadikan pelita yang Amat terang (matahari) (Soenarjo, dkk, 1971: 1015).

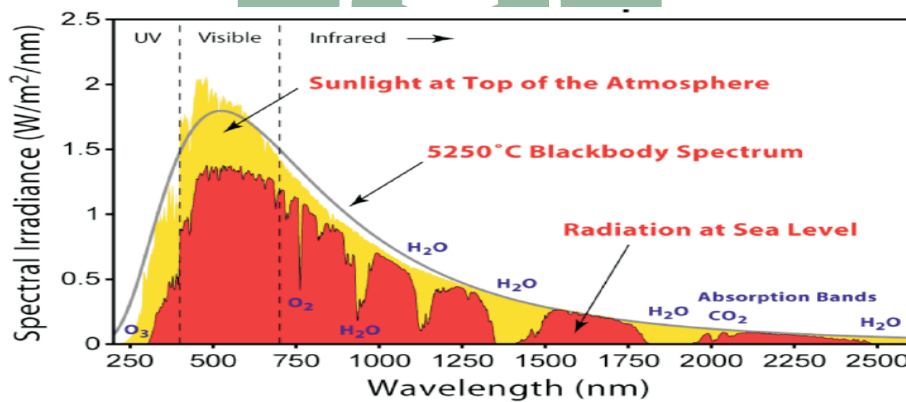
Dalam ayat di atas terdapat kata *sirajan wahhajan* atau “pelita yang amat terang” yang dimaksud yaitu matahari. Matahari bersinar karena adanya reaksi fusi nuklir. Setiap detiknya matahari menghasilkan energi dalam jumlah yang sangat besar (Tim Tafsir Ilmiah Salman, 2014: 65).

Energi yang dipancarkan oleh matahari tidak sepenuhnya diserap oleh permukaan bumi, hanya sekitar 69% yang diteruskan ke permukaan bumi. Sedangkan, selebihnya dipantulkan kembali. (Yulianto, 2006 dalam Nadeak dan Susanti, 2012: 81). Jumlah energi matahari yang setiap tahunnya diterima oleh permukaan bumi sebesar 3×10^{24} joule, setara dengan 10.000 kali konsumsi energi dunia saat ini. Energi tersebut dapat dimanfaatkan dengan cara mengkonversinya menjadi listrik dengan menggunakan perangkat sel surya. Untuk memenuhi kebutuhan energi listrik dunia hanya dibutuhkan perangkat sel surya yang memiliki

nilai efisiensi sebesar 5% untuk menutupi sebagian kecil permukaan bumi yaitu 0,2% dari luas keseluruhan permukaan bumi (Gratzel, 2001: 338).

Salah satu negara yang sangat berpotensi untuk mengembangkan energi matahari sebagai energi alternatif adalah Indonesia. Hal ini disebabkan oleh, letak geografis Indonesia yang berada pada daerah katulistiwa. Untuk setiap harinya Indonesia terkena cahaya matahari selama 10-12 jam dengan intensitas penyinaran rata-rata sebesar 4,5 kWh/m² (Widodo,dkk, 2009: 67).

Spektrum-spektrum cahaya matahari yang sampai ke permukaan bumi memiliki panjang gelombang yang berbeda-beda, mulai dari 100 nm sampai 10⁶ nm. Radiasi sinar tampak memiliki intensitas yang paling besar dibandingkan radiasi ultraviolet dan inframerah dekat seperti yang ditunjukkan pada Gambar II.1 (Rhodes, 2010: 43).



Gambar II.1. Perbedaan Intensitas Spektrum Cahaya Matahari yang Sampai ke Permukaan Bumi (Rhodes, 2010: 44)

Menurut Rhodes (2010: 43-44), komponen-komponen radiasi elektromagnetik berdasarkan panjang gelombangnya dapat dibagi menjadi 5 kelompok, yaitu:

1. Ultraviolet C (UVC) berada pada panjang gelombang 100-280 nm. UVC yang memasuki permukaan bumi sangat sedikit karena terserap oleh reaksi fotokimia pada lapisan ozon.

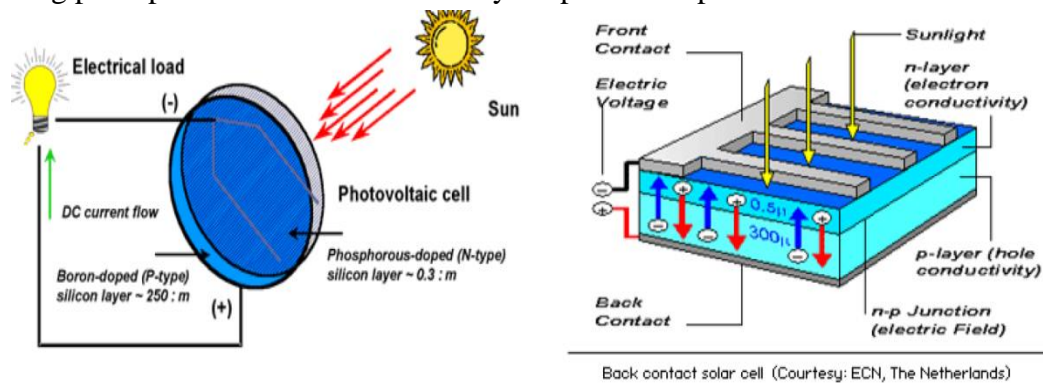
2. Ultraviolet B (UVB) berada pada panjang gelombang 280-315 nm. UVB memiliki fungsi yang sama dengan UVC yaitu membantu terjadinya reaksi fotokimia pada lapisan ozon. Akan tetapi, jumlah UVB yang diserap oleh atmosfer lebih besar dibandingkan UVC.
3. Ultraviolet A (UVA) berada pada panjang gelombang 315-400 nm. Sinar UVA yang masuk ke permukaan bumi dapat menyebabkan perubahan warna pada kulit menjadi kecoklat-coklatan.
4. Cahaya tampak 400-700 nm. Berada pada panjang gelombang yang dapat dijangkau oleh mata manusia.
5. Radiasi Inframerah 700-10⁶ nm. Radiasi jenis ini, menimbulkan efek panas pada cahaya matahari. Inframerah dapat dibagi menjadi 3 jenis, yaitu Inframerah A (700-1.400 nm), Inframerah B (1.400-3.000 nm) dan Inframerah C (3000-10⁶ nm).

B. Sel Surya (Sel Fotovoltaik)

Henry Becquerel pada tahun 1839, menemukan suatu efek yang dapat mengubah energi matahari menjadi energi listrik. Efek tersebut kemudian dikenal sebagai efek fotovoltaik (Goetzberger dan Hoffmann, 2005, 1). Pada sel surya, efek fotovoltaik terjadi karena adanya bahan semikonduktor. Untuk pertama kalinya trio *Bell Laboratories* (Chapin, Fuller dan Person) pada tahun 1954 di Amerika Serikat menemukan suatu sel surya dengan menggunakan silikon sebagai bahan dasar semikonduktornya yang memiliki efisiensi sekitar 6% (Rhodes, 2010: 46).

Prinsip dasar operasi dan struktur sel surya sangat sederhana, yaitu sinar matahari akan mengakibatkan terjadinya induksi elektron pada perangkat sel surya yang mengakibatkan terjadinya arus searah jika perangkat sel surya diberi muatan.

Perangkat sel surya terdiri dari lapisan ultra tipis (silikon jenis n) dan lapisan tebal (silikon jenis p) yang memiliki kontak listrik (Halme dan Paanajarvi, 2004: 8). Skema tentang prinsip dasar dan struktur sel surya dapat dilihat pada Gambar II.2 berikut.



Gambar II.2. Deskripsi Skema Prinsip dan Struktur Sel Surya (Sel Fotovoltaik) (Halme dan Paanajarvi, 2004: 8)

Menurut Ekasari dan Yudoyono (2013: 15), berdasarkan perkembangan teknologi dan bahan dasar pembuatannya, sel surya dapat dibedakan menjadi tiga generasi. Menurut Hardian, dkk, (2010: 7), sel surya tersebut memiliki kelebihan dan kekurangan, yaitu:

1. Sel surya dari silikon kristal tunggal dan silikon multi kristal merupakan sel surya generasi pertama yang memiliki efisiensi yang cukup tinggi. Namun, biaya produksinya mahal.
2. Sel surya tipe lapis tipis (*thin film solar cell*) merupakan sel surya generasi kedua berbahan dasar wafer silikon polikristal, biaya produksinya lebih murah daripada sel surya generasi pertama. Selain itu, sel surya jenis ini terbuat dari bahan elastis sehingga cocok untuk semua jenis perangkat sel surya. Akan tetapi, sel surya jenis ini memiliki efisiensi yang lebih rendah dibandingkan sel surya generasi pertama.

3. Sel surya tersensitasi zat warna atau DSSC merupakan sel surya generasi ketiga yang masih dalam tahap pengembangan karena biaya produksinya lebih murah dibandingkan dengan dua generasi sel surya sebelumnya.

Menurut Gratzel (2001:338), berdasarkan bahan yang digunakan untuk menyerap cahaya matahari, sel surya dibagi menjadi dua kelompok, yaitu:

1. Sel surya anorganik (*inorganic solar cell*) menggunakan silikon untuk menyerap foton dari cahaya matahari.
2. Sel surya organik (*organic solar cell*) menggunakan zat warna alami yang berasal dari tumbuhan seperti karoten, antosianin, klorofil dan sebagainya untuk menyerap foton dari cahaya matahari. Sistem kerja sel surya organik sama seperti sistem kerja fotosintesis.

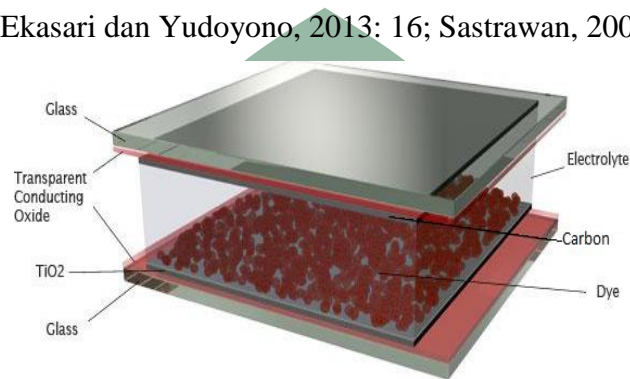
C. Dye Sensitized Solar Cell (DSSC)

DSSC merupakan sebuah perangkat berbasis semikonduktor yang dapat mengubah energi matahari menjadi energi listrik berdasarkan sistem fotoelektrokimia sederhana (Fitra, dkk, 2013: 341). DSSC pertama kali ditemukan oleh Michael Gratzel dan Brian O'Regan pada tahun 1991 (Gratzel dan O'Regan, 1991: 739) dan dipatenkan dengan nama *Gratzel cell* (Jasim, 2011: 171). DSSC memiliki beberapa keuntungan dibandingkan dengan sel surya konvensional yaitu harga produksi relatif murah dan menghasilkan nilai efisiensi yang relatif lebih tinggi (Gratzel dan O'Regan, 1991: 737).

1. Komponen DSSC

Secara umum, DSSC terdiri dari beberapa komponen yaitu zat warna sebagai *photosensitizer*, kaca TCO (*transparent conductive oxide*), lapisan TiO_2 dan larutan elektrolit yang mengandung pasangan redoks I^-/I_3^- (Gratzel dan O'Regan, 1991:

737-739). DSSC disusun berdasarkan struktur *sandwich* (Gambar II.3), dimana kaca TCO pada bagian atas dilapisi oleh karbon sebagai elektroda pembanding sedangkan kaca TCO bagian bawah dilapisi dengan pasta TiO₂. Diantara kedua kaca TCO tersebut terdapat larutan elektrolit redoks (I/I₃⁻) yang dapat membentuk sel fotoelektrokimia (Ekasari dan Yudoyono, 2013: 16; Sastrawan, 2006: 10).



Gambar II.3. Skema DSSC (Vandri dan Iskandar, 2012: 61)

a. Substrat DSSC

Substrat yang biasa digunakan pada DSSC adalah TCO (*Transparent Conductive Oxide*), TCO berfungsi sebagai tempat untuk melekatkan pasta TiO₂ dan elektroda karbon. TCO biasanya diberi lapisan konduktif berupa flourine-doped tin oxide (SnO₂:F atau FTO) atau indium tin-oxide (In₂O₃:Sn atau ITO) yang berfungsi sebagai tempat mengalirnya muatan (Vandri dan Iskandar, 2012: 61).

b. Lapisan Oksida Semikonduktor

Menurut Natullah dan Yudoyono (2013: 1-2), konversi cahaya matahari menjadi energi listrik disebabkan karena adanya bahan semikonduktor yang berfungsi untuk meningkatkan daya hantar listrik. Bahan semikonduktor terdiri dari dua jenis yaitu:

1. Semikonduktor jenis p adalah semikonduktor yang kelebihan muatan positif.
2. Semikonduktor jenis n adalah semikonduktor yang bermuatan negatif karena kelebihan elektron.

Lapisan semikonduktor yang paling umum digunakan yaitu TiO_2 karena memiliki efisiensi yang paling tinggi jika digunakan pada DSSC. Lapisan semikonduktor TiO_2 memiliki tiga kegunaan dalam DSSC yaitu menyediakan permukaan untuk adsorpsi zat warna, sebagai akseptor elektron dan sebagai konduktor elektron (Kruger, 2003: 11). Selain TiO_2 terdapat pula bahan semikonduktor yang lain, seperti SnO_2 , ZnO_2 , CdSe , CdS , WO_3 , Fe_2O_3 , Nb_2O_3 dan Ta_2O_5 (Vandri dan Iskandar, 2012: 61).

c. *Photosensitizer*

Zat warna adalah elemen fotoaktif yang terdapat pada sel surya yang berfungsi sebagai *photosensitizer* untuk mengkonversi foton yang berasal dari cahaya matahari menjadi listrik (Kruger, 2003: 11). Menurut Narayan (2012: 209), sebuah *photosensitizer* yang efisien harus memenuhi persyaratan tertentu seperti:

1. Intensitas penyerapan pada daerah tampak.
2. Adsorpsi yang kuat ke permukaan semikonduktor.
3. Injeksi elektron yang efisien ke pita konduksi dari semikonduktor.
4. Harus memiliki beberapa gugus =O atau -OH yang mampu berikatan dengan Ti (IV) pada permukaan TiO_2 .

d. Elektrolit

Pada DSSC yang berperan sebagai elektrolit adalah pasangan iodin (I) dan triiodin (I_3^-) sebagai redoks dalam pelarut (Handini, 2008: 25).

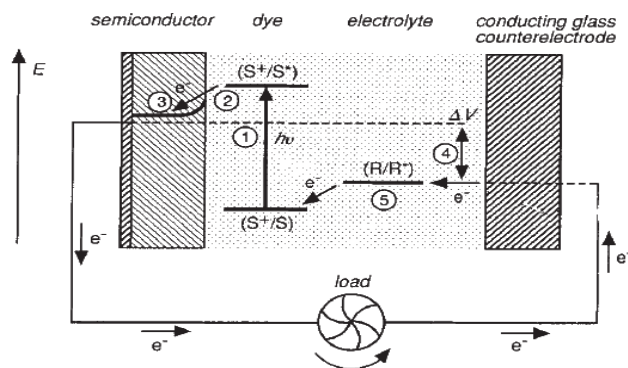
e. Elektroda Pembanding (*counter elektroda*)

Elektroda pembanding yang bertindak sebagai katalis, diperlukan untuk mempercepat terjadinya proses reduksi I_3^- pada TCO. Katalis yang biasa digunakan adalah platina karena memiliki aktivitas katalitik yang tinggi (Kay dan Gratzel: 1996: 108).

Andreas Kay dan Michael Gratzel, menggunakan karbon sebagai pengganti platina. Hal ini disebabkan oleh aktivitas katalitik dari platina dapat mengurangi efisiensi penyerapan zat warna pada DSSC. Karbon dipilih sebagai alternatif pengganti platina karena memiliki beberapa keunggulan, yaitu memiliki konduktivitas yang tinggi, tahan terhadap panas dan korosi serta memiliki kemampuan sebagai katalitik untuk reduksi I_3^- (Kay dan Gratzel: 1996: 109).

2. Prinsip Kerja DSSC

Prinsip kerja DSSC terdiri dari beberapa tahap. Secara skematik dapat dilihat pada Gambar II.4.



Gambar II.4. Skema Prinsip Kerja DSSC (Gratzel dan O'Regan, 1991: 738)

Cahaya matahari dalam bentuk foton yang menimpa zat warna (D) pada permukaan TiO₂ akan mengakibatkan terjadinya eksitasi elektron pada zat warna (D^{*}) dari level energi HOMO (*High Occupied Molecular Orbital*) ke level LUMO (*Low Unoccupied Molecular Orbital*).



Zat warna yang tereksitasi (D^{*}) akan melepaskan sebuah elektron menuju semikonduktor TiO₂. Sehingga, molekul zat warna akan berada pada keadaan teroksidasi (D⁺). Elektron tersebut akan melewati TiO₂ kemudian mengalir menuju elektroda lawan (*counter electrode*) pada lapisan TCO melalui rangkaian luar.



Elektron ini akan bereaksi dengan I₃⁻ yang berada dalam sel dan menyebabkan zat warna yang teroksidasi (D⁺) kembali ke keadaan dasar (D).



(O'Regan dan Gratzel, 1991: 738).

D. Zat Warna Alami (*Natural Dye*)

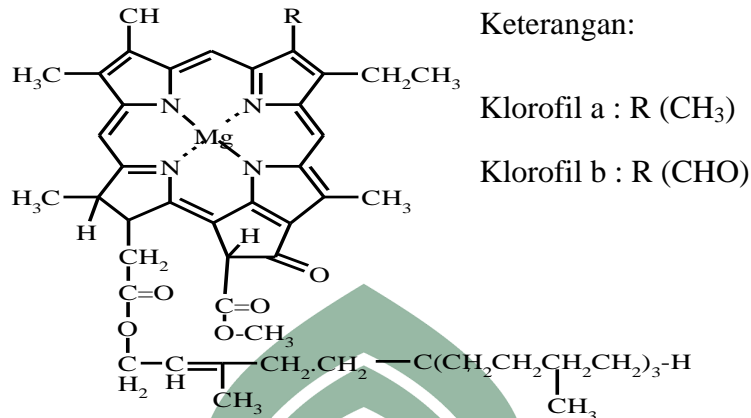
Zat warna alami adalah molekul-molekul pigmen yang dihasilkan oleh bahan alam. Umumnya zat warna alami ini memiliki gugus hidroksil (-OH) dan karbonil (-C=O) yang membuatnya berikatan dengan mudah pada permukaan TiO₂ (Wongcharee, dkk, 2006: 566). Selain itu, gugus hidroksil membuat zat warna lebih mudah larut dalam air (Ludin, dkk, 2014: 390). Zat warna alami ini dapat diekstrak dari bagian-bagian tanaman yang memiliki berbagai pigmen warna yang beragam, seperti bunga, daun dan buah-buahan (Chang dan Lo, 2010: 1834).

Zat warna alami digunakan sebagai sensitizer alternatif karena memiliki keunggulan, yaitu dapat diekstraksi dari bahan alam dengan menggunakan prosedur sederhana. Tanpa harus menggunakan prosedur ekstraksi bahan alam yang dari tahap awal hingga tahap pemurnian (Fernando dan Senadeera, 2008: 663). Kelebihan lain dari zat warna alami, yaitu harga produksi murah, dapat terdegradasi secara alami, bahan baku mudah diperoleh, ramah lingkungan, mengurangi penggunaan logam mulia dan tidak memerlukan sintesis bahan kimia yang mahal (Sinha dan Das, 2012: 1). Saat ini, *photosensitizer* pada DSSC yang banyak digunakan berasal dari zat warna alami, seperti klorofil, karotenoid, antosianin, flavonoid, sianin dan tanin.

1. Klorofil

Klorofil sangat berperan penting bagi semua makhluk hidup yang melakukan proses fotosintesis. Klorofil yang biasa disebut dengan zat hijau daun, umumnya paling banyak ditemukan dalam daun tanaman hijau, alga dan sianobakteria. Warna hijau yang dihasilkan oleh klorofil disebabkan, karena daya serapnya yang kuat terhadap beberapa warna pada daerah sinar tampak, yaitu warna merah, biru dan ungu (Ludin, dkk, 2014: 393). Panjang gelombang maksimum klorofil berada pada 670 nm (Amao dan Komori, 2004: 843).

Klorofil dapat dibagi menjadi dua jenis, yaitu klorofil a ($C_{55}H_{72}O_5N_4Mg$) berwarna hijau biru dan kurang polar. Klorofil b ($C_{55}H_{70}O_6N_4Mg$) berwarna hijau kuning dan sangat polar. Struktur dari klorofil dapat dilihat pada Gambar II.5. Perubahan warna hijau yang terjadi pada klorofil, terjadi karena degradasi klorofil yang dipengaruhi oleh beberapa faktor, yaitu paparan cahaya, sinar, oksidator dan kondisi pH (Andarwulan dan Faradilla, 2012: 58).

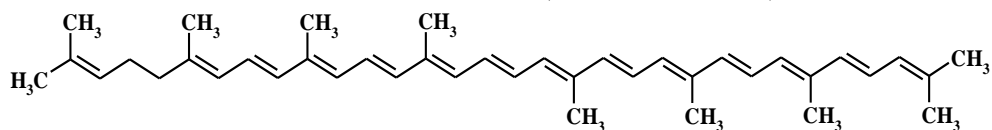


Gambar II.5. Struktur Umum Klorofil (Andarwulan dan Faradilla, 2012: 59)

2. Karotenoid

Karotenoid merupakan zat warna alami yang umumnya memberikan warna merah, orange dan kuning pada tumbuhan (Kishimoto, dkk, 2005: 2122). Warna beragam yang dimiliki oleh karotenoid disebabkan oleh banyaknya ikatan rangkap yang terdapat dalam struktur molekulnya (Gambar II.6) (Davies, 2004: 57). Semakin banyak ikatan rangkap maka semakin pekat pula warna yang dihasilkan oleh karotenoid (Andarwulan dan Faradilla, 2012: 71).

Pada proses fotosintesis, karotenoid memberikan sumbangan energi yang diserapnya pada daerah sinar tampak. Selain itu, karotenoid memberikan perlindungan pada tumbuhan dengan cara disipasi energi, detoksifikasi radikal dan membatasi kerusakan membran sel tumbuhan (Davies, 2004: 65).



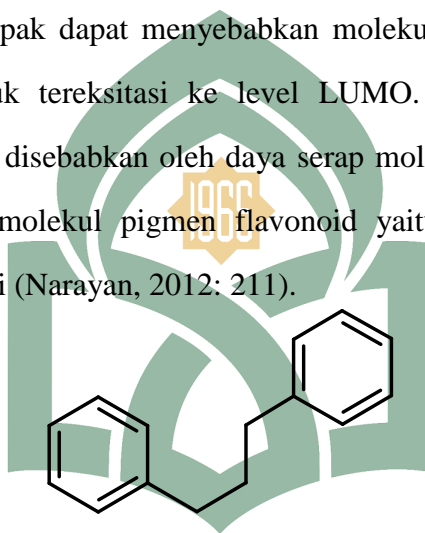
Gambar II.6. Struktur Umum Karotenoid (Andarwulan dan Faradilla, 2012: 71)

3. Flavonoid

Sejauh ini, senyawa flavonoid telah diisolasi dari sekitar 5000 jenis tanaman. Senyawa flavonoid dapat dibedakan berdasarkan struktur kimianya seperti flavon,

flavonol, flavanon, isoflavon, catecin, antosianin dan kalkon. Kerangka dasar flavonoid terdiri dari C₆-C₃-C₆ dengan dua cincin fenil yang dihubungkan oleh tiga atom karbon (Grotewold, 2006: 1). Struktur umum flavonoid dapat dilihat pada Gambar II.7.

Radiasi sinar tampak dapat menyebabkan molekul pigmen antosianin yang kehilangan elektron untuk tereksitasi ke level LUMO. Variasi zat warna yang dihasilkan oleh flavonoid disebabkan oleh daya serap molekulnya pada daerah sinar tampak. Ciri khas dari molekul pigmen flavonoid yaitu adanya ikatan rangkap terkonjugasi dan oksigenasi (Narayan, 2012: 211).

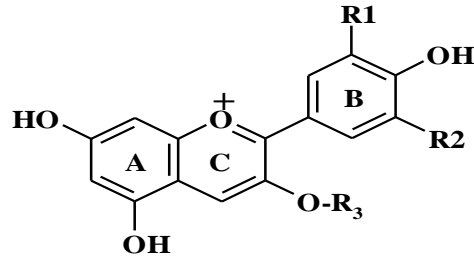


Gambar II.7. Struktur Umum Flavonoid

4. Antosianin

Antosianin merupakan zat warna yang dapat larut dalam air yang banyak ditemukan dalam tumbuhan golongan angiospermae baik itu pada bunga, buah, daun, akar, umbi-umbian dan batang (Andersen dan Markham, 2006: 472) Berdasarkan warna yang dihasilkan, antosianin dibagi menjadi beberapa jenis, yaitu pelargonidin, sianidin, peonidin, delpinidin, petunidin dan malvidin (Alhamed, 2012: 1371).

Struktur antosianin diperlihatkan pada Gambar II.8. Perubahan jenis antosianin dipengaruhi oleh perubahan gugus metoksil yang berikatan pada cincin B sedangkan untuk panjang gelombang serapannya pada daerah sinar tampak dipengaruhi oleh substitusi R₃ pada cincin C (Tabel II.1). Bentuk 3-O-glikosida

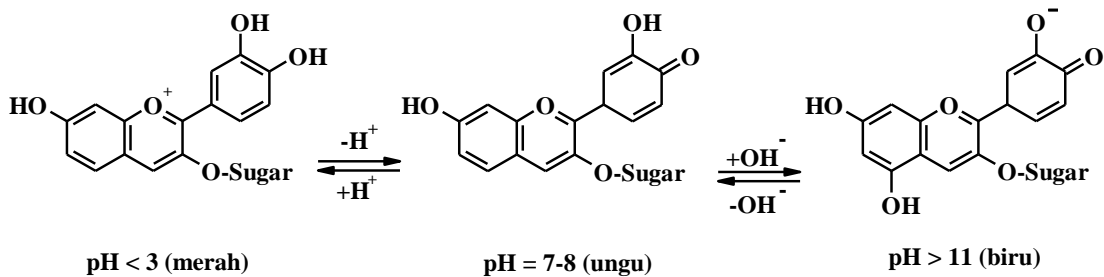


Gambar II.8. Struktur Umum Antosianin (Alhamed, 2012: 1371)

merupakan antosianin yang paling banyak ditemukan dalam buah-buahan. Perubahan warna pada antosianin dapat terjadi karena pengaruh pH seperti yang diperlihatkan pada Gambar II.9 (Alhamed, dkk, 2012: 1371).

Tabel II.1. Struktur Utama Antosianin-3-O-glucosida yang terdapat dalam Buah-buahan dan masing-masing panjang gelombang pada penyerapan maksimum di daerah sinar tampak (Alhamed, 2010: 1371)

Antosianin	R ₁	R ₂	λ _{maks} (nm)	
			R ₃ =H	R ₃ =Glu
Delpinidin	OH	OH	546	541
Petunidin	OH	OCH ₃	543	540
Malvidin	OCH ₃	OCH ₃	542	538
Sianidin	OH	H	535	530
Peonidin	OCH ₃	H	532	528
Pelargonidin	H	H	520	516



Gambar II.9. Perubahan Struktur Antosianin berdasarkan pH (Alhamed, 2012: 1371)

Pigmen antosianin dapat ditemukan pada beberapa tumbuhan. Salah satu tumbuhan yang memiliki pigmen antosianin yaitu terong ungu yang terletak pada kulitnya.

E. Terong Ungu (*Solanum melongena* L.)

1. Taksnomi Terong Ungu

Terong ungu tergolong kedalam famili *solanacea* yang menghasilkan biji. Terong ungu sendiri diduga berasal dari India dan Srilanka (Silitonga dan Sitorus, 2014: 49). Berikut taksonomi dari terong ungu (Bisby, 2004 dalam Rukmanasari, 2010: 22).

Kingdom	: Plantae
Divisi	: Spermatophyta
Sub Divisi	: Angiospermae
Kelas	: Magnoliopsida
Sub Kelas	: Asteridae
Ordo	: Solanales
Famili	: Solanaceae
Genus	: <i>Solanum</i>
Spesies	: <i>Solanum melongena</i>
Nama Binomial	: <i>Solanum melongena</i> L.



Gambar II.10. Terong Ungu (*Solanum melongena* L.)

2. Morfologi Tanaman Terong Ungu

Tanaman terong ungu dapat tumbuh hingga mencapai ketinggian 0,4-0,9 m. Tanaman tersebut memiliki pohon yang berdiri tegak sebagai penyangga yang disebut dengan batang primer sedangkan tangkai tempat buah dan bunga disebut batang sekunder. Terong ungu memiliki akar tunggang. Daunnya berbentuk bulat besar, pangkal dan ujung runcing, serta pertulangan menyirip. Bunga terong ungu dikenal sebagai bunga lengkap karena memiliki jenis kelamin ganda sehingga dapat melakukan penyerbukan sendiri. Buahnya merupakan buah sejati tunggal yang berbentuk lonjong dan memiliki daging tebal serta lunak. Terong ungu memiliki biji yang berbentuk pipih yang digunakan sebagai reproduksi perbanyakannya secara generatif (Mashudi, 2007: 10-11).

3. Kandungan Terong Ungu

Terong ungu mengandung asam klorogenik dan antosianin yang dapat berfungsi sebagai antioksidan. Selain sebagai antioksidan, antosianin merupakan zat pemberi warna pada terong ungu (Gallo, dkk, 2014: 3).

Zat pemberi warna ungu yang terdapat pada kulit terong ungu disebabkan oleh nasunin yang pertama kali diisolasi oleh Kuroda dan Wada pada tahun 1933 (Noda, dkk, 2000: 120). Selain nasunin, senyawa pemberi warna lainnya yang terdapat pada kulit terong ungu yaitu delphinidin-3-rutinoside (Sadilova, dkk, 2006: 527). Delphinidin-3-rutinoside termasuk dalam golongan antosianin yang mudah larut dalam air. Selain itu, senyawa ini mudah terhidrolisis pada suhu $> 40^{\circ}\text{C}$. Untuk mencegah terjadinya oksidasi pada delphinidin-3-rutinoside digunakan botol coklat sebagai wadah penyimpanan, jika senyawa tersebut disimpan dalam waktu yang lama maka harus dilakukan penyimpanan pada suhu $< -5^{\circ}\text{C}$ (Polyphenols Laboratories AS).

Antosianin jenis ini, tidak stabil oleh pengaruh pH, oksigen, enzim dan cahaya. Akan tetapi, kondisinya lebih stabil dalam suasana asam dibandingkan dalam suasana basa maupun netral (Subondo dan Sunaryo, 2013 dalam Silitonga dan Sitorus, 2014: 49). Zat warna yang terdapat pada kulit terong ungu dapat dipisahkan dengan menggunakan beberapa metode ekstraksi.

F. Metode Ekstraksi Zat Warna

Ekstraksi adalah proses pemisahan satu atau lebih senyawa kimia yang terdapat dalam sampel dengan menggunakan bantuan pelarut organik yang sesuai (Bintang, 2010: 125). Hasil ekstraksi yang diperoleh dipengaruhi oleh beberapa faktor, yaitu waktu, suhu, pengadukan dan banyaknya pelarut yang digunakan (Yuniwati, dkk, 2012: 258).

Berdasarkan sifat fisik bahan yang digunakan, ekstraksi dapat dibagi menjadi dua cara, yaitu ekstraksi padat cair dan ekstraksi cair-cair (Mc, Cabe, dkk, 1999 dalam Muhidien, 2008: 11). Ekstraksi dapat pula dilakukan dengan menggunakan beberapa metode, seperti:

1. Maserasi

Maserasi adalah proses ekstraksi dengan cara merendam sampel yang telah dihaluskan dengan menggunakan pelarut organik yang sesuai pada suhu ruang. Proses ekstraksi dapat dihentikan jika tercapai kesetimbangan antara konsentrasi pelarut dan ekstrak yang terdapat dalam sampel (Sarker, dkk, 2006: 32).

Maserasi memiliki beberapa keuntungan, yaitu proses dan peralatannya sederhana serta dikerjakan pada suhu ruang. Akan tetapi, maserasi memerlukan waktu yang lama dalam proses ekstraksinya, menggunakan pelarut dalam jumlah

yang banyak serta kurang efisien dalam mengekstraksi beberapa senyawa yang sukar larut dalam suhu kamar (Sarker, dkk, 2006: 32).

2. Soxhletasi

Soxhletasi adalah metode ekstraksi yang dilakukan secara kontinyu. Soxhletasi biasanya digunakan untuk sampel padatan dengan menggunakan pelarut yang bersifat volatil (Ibrahim dan Sitorus, 2013: 16). Keuntungan dari soxhletasi yaitu pelarut yang digunakan lebih sedikit dan waktu pengerjaannya lebih singkat jika dibandingkan dengan maserasi (Sarker, dkk, 2006: 33-34).

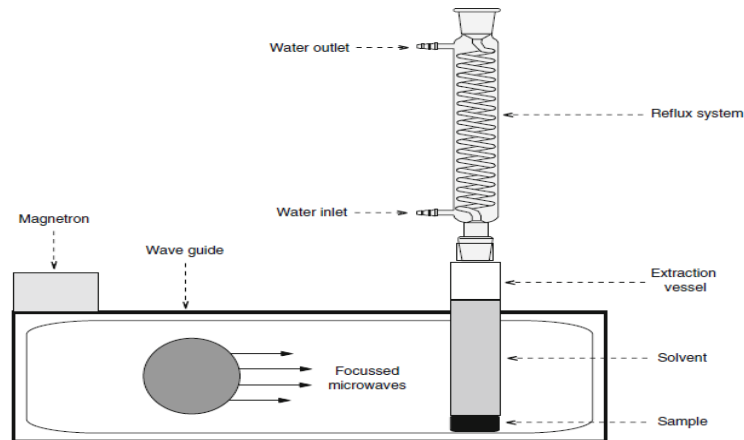
3. Ekstraksi Ultrasonik

Ekstraksi ultrasonik adalah proses pemisahan komponen sampel dengan menggunakan bantuan gelombang ultrasonik untuk mempercepat reaksi kimia sehingga menghasilkan pemisahan yang efisien. Gelombang ultrasonik akan menyebabkan terjadinya efek kavitasi yaitu pertumbuhan, pembentukan dan pemecahan gelembung dalam suatu cairan (Jos, dkk, 2011: 232). Frekuensi gelombang ultrasonik yang biasa digunakan dalam bidang kimia yaitu 20 kHz – 2 MHz (Wardiyati, 2004: 419). Terdapat beberapa kelebihan ekstraksi menggunakan bantuan gelombang ultrasonik dibandingkan dengan ekstraksi konvensional, yaitu bagus digunakan untuk sampel yang tidak tahan panas serta pengerjaannya lebih efisien (Zou, dkk, 2014: 1412).

4. *Microwave Assisted Extraction* (MAE)

MAE adalah teknik ekstraksi yang memanfaatkan energi yang dihasilkan oleh *microwave* berupa energi gelombang mikro dalam bentuk radiasi non pengion yang memiliki frekuensi sebesar 0,3-300 GHz. Alat MAE merupakan gabungan

antara metode refluks dan *microwave* (Delazar, dkk, 2012: 89-90) seperti yang diperlihatkan pada Gambar II.11.



Gambar II.11. Rangkaian Alat MAE (Delazar, 2012: 93)

MAE memiliki beberapa keunggulan dibandingkan metode ekstraksi konvensional, yaitu proses ekstraksi berjalan cepat, hemat pelarut, kontrol suhu bagus dan laju ekstraksi lebih tinggi (Purwanto, dkk, 2010: 10). Terdapat beberapa faktor yang dapat mempengaruhi hasil ekstraksi jika menggunakan teknik MAE, yaitu suhu dan tekanan, waktu ekstraksi, jenis pelarut dan volumenya (Sticher, 2008: 521-522). Ekstrak kasar yang diperoleh dari proses ekstraksi selanjutnya dipisahkan komponen-komponennya dengan menggunakan metode fraksinasi.

G. Metode Fraksinasi

Salah satu metode fraksinasi yang umum digunakan untuk memisahkan komponen-komponen ekstrak kasar yaitu metode kromatografi kolom cair vakum (KKCV). KKCV merupakan kromatografi kolom yang menggunakan pompa vakum untuk mempercepat proses elusi. KKCV menggunakan fase diam berupa silika gel dan pelarut (eluen) sebagai fase gerak. Salah satu faktor yang berperan dalam proses KKCV yaitu jenis silika gel yang digunakan. Silika gel yang memiliki ukuran partikel

terlalu kecil akan memperlambat proses KKCVC (Pedersen dan Rosenbohm, 2001: 2432).

Pemilihan eluen pada proses KKCVC dapat dilakukan melalui 3 pendekatan, yaitu penulusuran pustaka, menerapkan data pada proses kromatografi lapis tipis (KLT) dan pemakaian eluen dengan menggunakan tingkat kepolaran (Septianingsih, 2010: 12). Proses pemisahan komponen sampel terjadi karena adanya perbedaan daya serap pada fasa diam. Komponen yang terserap lemah pada fasa diam akan keluar terlebih dahulu sedangkan yang terserap kuat pada fasa diam akan keluar paling akhir (Ibrahim dan Sitorus, 2013: 20). Hasil ekstraksi zat warna yang diperoleh dari kulit terong ungu (*Solanum melongena* L.) kemudian dikarakterisasi untuk menentukan struktur senyawanya.

H. Karakterisasi Zat Warna

Struktur senyawa yang diperoleh dari hasil ekstraksi dapat ditentukan dengan menggunakan metode konvensional seperti uji titik leleh, uji gugus fungsi, uji kelarutan, indeks bias, berat molekul. Akan tetapi, metode konvensional memiliki banyak kekurangan, yaitu tidak dapat menentukan stereokimia dari senyawa serta memerlukan banyak senyawa murni hasil isolasi untuk proses pengujiannya. Berdasarkan dari kekurangan metode konvensional tersebut, maka dikembangkanlah metode penentuan struktur yang proses pengerjaannya singkat dan menggunakan sampel yang sedikit (mg atau μg). Metode tersebut dikenal dengan sebutan metode spektroskopi (Supratman, 2006: 1). Beberapa metode spektroskopi yang biasa digunakan untuk penentuan senyawa, antara lain:

1. Gas Chromatography – Mass Spectroscopy (GC-MS)

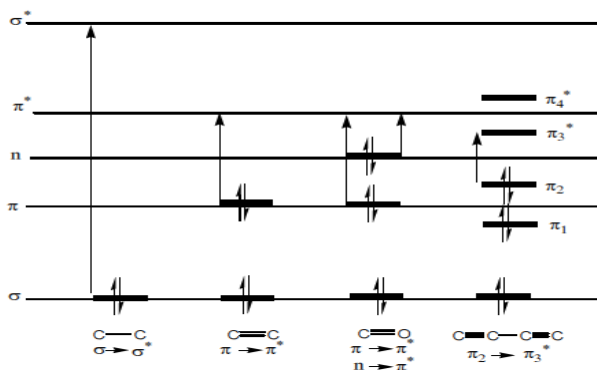
GC-MS merupakan kombinasi dari kromatografi gas dan spektroskopi massa. kromatografi gas berfungsi untuk memisahkan senyawa organik menjadi molekul dengan bantuan gas yang bertindak sebagai fasa gerak. Pemisahan molekul yang dihasilkan berdasarkan dari waktu yang digunakan sampel untuk sampai ke detektor yang disebut waktu retensi (Bouchonnet, 2013: 1). Molekul yang dihasilkan oleh kromatografi gas kemudian dilanjutkan ke spektroskopi massa untuk mengetahui berat molekulnya. Molekul-molekul sampel ditembak dengan menggunakan elektron yang berenergi tinggi (*Electron Impact, EI*), sehingga menghasilkan ion organik tidak stabil dalam bentuk fragmen-fragmen kecil, fragmen yang memiliki ion positif kemudian dilanjutkan ke detektor dan terbaca sebagai spektrum (Supratman, 2006: 256).

Selain metode tembakan elektron (*electron impact, EI*) terdapat pula beberapa metode ionisasi yang biasa digunakan pada spektroskopi massa, yaitu ionisasi kimia (*chemical ionization, CI*), ionisasi kimia langsung (*direct chemical ionization, DCI*), ionisasi semprotan elektron (*electronspray ionization, ESI*), pengoboman atom cepat (*fast atom bombardment, FAB*), desorpsi medan (*field desorption, FD*), ionisasi kinetik medan (*field ionization kinetic, FIK*) dan metoda ionisasi (*ionization methods*) (Supratman, 2006: 292-298).

2. Spektroskopi UV-Vis

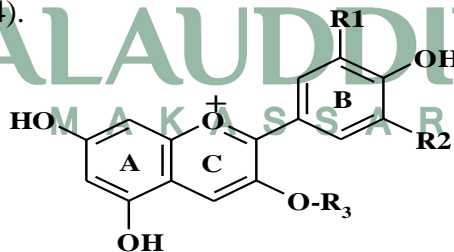
Daerah UV-Vis berada pada panjang gelombang 200-800 nm. Suatu molekul yang menyerap pada daerah ultraviolet (UV) dan sinar tampak (*visible*) akan mengalami transisi elektron ke tingkat yang lebih tinggi. Spektroskopi UV-Vis berfungsi untuk menentukan ada atau tidaknya ikatan rangkap atau

konjugasi aromatik dalam suatu molekul yang disebabkan oleh adanya transisi $n \rightarrow \pi^*$ dan $\pi \rightarrow \pi^*$ (Supratman, 2006: 7). Seperti yang terlihat pada diagram transisi elektron berikut.



Gambar II.12. Diagram Energi Transisi Elektron

Berdasarkan struktur antosianin yang diperlihatkan pada Gambar II.13, dapat dilihat bahwa antosianin mengandung gugus-gugus kromofor berupa $-\text{C}=\text{C}-$ dan C_6H_4 yang mengikat gugus auksokrom berupa $-\text{OH}$ dan $-\text{OR}$ (Supratman, 2006: 14).



Gambar II.13. Struktur Dasar Antosianin (Alhamed, 2012: 1371)

3. Spektroskopi Inframerah

Spektrum inframerah berada pada panjang gelombang $700-10^6$ nm. Spektrum inframerah berfungsi untuk menentukan jenis ikatan yang terdapat dalam senyawa. Jenis ikatan tersebut dapat dibedakan berdasarkan kemampuannya dalam melakukan vibrasi. Pada umumnya, vibrasi molekul terjadi dalam dua bentuk yaitu *stretching* (vibrasi regang/ulur) dan *bending* (vibrasi lentur/tekuk)

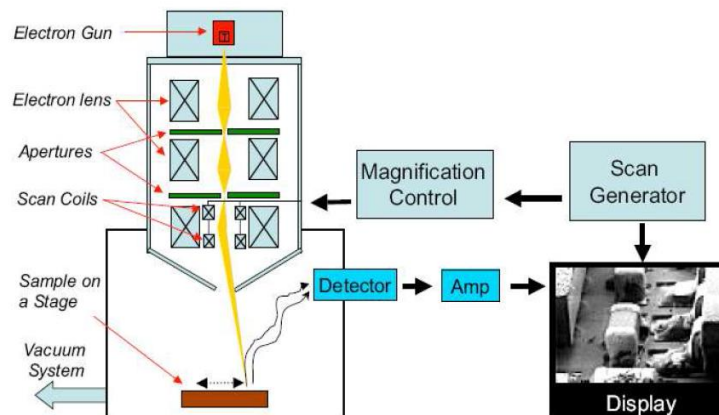
(Supratman, 2006: 57-58). Berdasarkan struktur dasar antosianin yang ditunjukkan pada Gambar II.13, jenis ikatan dan daerah serapan molekul antosianin pada spektrofotometer inframerah dapat dilihat pada Tabel II.2 berikut.

Tabel II.2. Jenis Ikatan dan Daerah Serapan Molekul Antosianin
(Silverstein, dkk, 2005: 75)

Jenis Ikatan	Daerah Serapan (nm)
C=C	1900-1500
C-C	1300-800
O-H	3800-2700
C=O	1850-1600
C-H	3000-2850

I. Scanning Electron Microscopy (SEM)

SEM merupakan salah satu metode instrumen yang umum digunakan untuk analisis mikrostruktur sampel padatan. SEM menggunakan prinsip *scanning* yaitu sinar elektron difokuskan pada permukaan sampel yang kemudian akan menghasilkan data berupa gambar (Sitorus, 2009 dalam Cahyana dan Marzuki, 2011: 24). SEM terdiri dari beberapa komponen yang dapat dilihat pada Gambar II.14.



Gambar II.14. Komponen-Komponen SEM (Oktaviana, 2009: 5).

BAB III

METODE PENELITIAN

A. Waktu dan Tempat Penelitian

Penelitian ini telah dilakukan pada bulan November 2015 sampai Februari 2016. Preparasi sampel dilakukan di Laboratorium Kimia Organik Universitas Islam Negeri Alauddin Makassar, analisis UV-Vis dan FTIR dilakukan di Laboratorium Kimia Terpadu Universitas Hasanuddin Makassar, analisis GC-MS dilakukan di Laboratorium Kimia Balai Besar Laboratorium Kesehatan Makassar dan uji *Scanning Electron Microscopy* (SEM) dilakukan di Laboratorium Mikrostruktur Universitas Negeri Makassar.

B. Alat dan Bahan

1. Alat

Alat-alat yang digunakan pada penelitian ini, yaitu spektrofotometer FTIR Shimadzu IR-Prestige 21, GC-MS Shimadzu (GC trace 1310 dan MS ISQ *single quadropole*), UV-2600 Shimadzu, SEM Vega3 Tescan, ultrasonik krisbow 47 KHz, *light meter* LX-103, multimeter DT-860B, *rotary vaccum evaporator*, oven, neraca analitik, kaca TCO (*Transparent Conductive Oxide*), potensiometer, *hot plate*, corong *sintered glass*, pompa vakum, alat-alat gelas, botol semprot, penjepit kayu dan spatula.

2. Bahan

Bahan yang digunakan pada penelitian ini, yaitu aquades (H_2O), asam klorida (HCl) p.a, etanol (C_2H_5OH), etil asetat, iodin (I_2), kalium iodida (KI), kertas pH universal, kertas saring biasa, kulit terong ungu, lilin, natrium hidroksida

(NaOH) 10%, TiO₂ teknis, metanol (CH₃OH), n-heksan (C₆H₁₄), isolasi bening, silika nomor katalog 7730 dan 7733.

C. Prosedur Penelitian

1. Ekstraksi Zat Warna Kulit Terong Ungu

Sampel kulit terong ungu dikeringkan terlebih dahulu pada suhu kamar kemudian diblender hingga berbentuk serbuk lalu ditimbang sebanyak 250 gr. Setelah itu, sampel dimasukkan ke dalam gelas kimia lalu ditambahkan dengan pelarut HCl 1% dalam metanol hingga sampel terendam secara keseluruhan, kemudian dilanjutkan dengan proses ekstraksi dalam ultrasonik selama 15 menit (Harbone, 1987: 80). Ekstrak yang diperoleh selanjutnya disaring lalu diuapkan dengan *rotary vaccum evaporator* hingga diperoleh ekstrak kental.

2. Variasi pH

Ekstrak kental kulit terong ungu diencerkan dengan metanol kemudian ditambahkan dengan NaOH 10% hingga pHnya berada pada pH basa (pH 8).

3. Fraksinasi Awal Zat Warna Terong Ungu (KKCV)

Silika nomor katalog 7730 ditimbang ± 20 gram lalu dimasukkan ke dalam kolom KKCV, kemudian dialiri dengan n-heksan hingga mampat (tidak terdapat gelembung udara). Setelah itu, ekstrak kental terong ungu diencerkan lalu diimpregnasi dengan silika nomor katalog 7733 sebanyak ± 3 gram. Hasil impregnasi sampel lalu dimasukkan ke dalam kolom KKCV yang selanjutnya dialiri dengan eluen yang ditingkatkan kepolarannya. Eluen yang digunakan yaitu n:heksan:etil asetat (8:2 dan 5:5) serta eluen metanol:etil asetat (8:2).

4. Pembuatan Pasta TiO₂

TiO₂ teknis dilarutkan dengan aquades panas kemudian dididihkan. Larutan TiO₂ diendapkan lalu disaring. Endapan TiO₂ teknis kemudian dilarutkan dengan etanol hingga berbentuk pasta.

5. Pembuatan Larutan Elektrolit

KI ditimbang sebanyak 0,83 gram lalu ditambahkan dengan iod sebanyak 0,127 gram kemudian dilarutkan dengan 10 mL aquades.

6. Pembuatan Elektroda Pembanding

Kaca TCO terlebih dahulu dibersihkan dengan aquades dalam ultrasonik lalu dikeringkan. Setelah itu, kaca TCO dipanaskan diatas api hingga terbentuk lapisan warna hitam.

7. Rangkaian Perangkat DSSC

Kaca TCO yang telah dibersihkan diletakkan diatas meja kerja. Selanjutnya, salah satu sisinya ditutup dengan isolasi bening lalu dilakukan proses pelapisan pasta TiO₂ teknis kemudian dilakukan proses sintering selama 30 menit. Kaca TCO yang telah dilapisi kemudian ditetesi dengan zat warna lalu dibiarkan beberapa menit hingga zat warna meresap. Selanjutnya, ditambahkan beberapa tetes larutan elektrolit yang kemudian ditutup dengan elektroda pembanding. Perangkat DSSC lalu dirangkai dengan multimeter dan pengukur intensitas cahaya kemudian disinari dengan sinar matahari lalu mencatat arus dan tegangan yang dihasilkan oleh DSSC.

8. Karakterisasi Zat Warna pada DSSC

Zat warna dengan efisiensi paling tinggi selanjutnya dikarakterisasi dengan metode analisa FTIR, UV-Vis dan GC-MS.

9. Uji *Scanning Electron Microscopy* (SEM)

Kaca TCO dipotong dengan ukuran 0,5 cm x 0,5 cm. Kaca TCO yang telah dibersihkan diletakkan diatas meja kerja. Selanjutnya, salah satu sisinya ditutup dengan isolasi bening lalu dilakukan proses pelapisan pasta TiO₂ teknis kemudian dilakukan proses sintering selama 30 menit. Kaca TCO yang telah dilapisi kemudian ditetesi dengan zat warna dalam kondisi basa lalu dibiarkan beberapa menit hingga zat warna meresap. Selanjutnya di uji dengan SEM.



BAB IV

HASIL DAN PEMBAHASAN

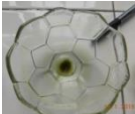
A. Hasil Penelitian

Pada penelitian ini, zat warna kulit terong ungu yang digunakan sebagai *photosensitizer* pada DSSC divariasikan warnanya berdasarkan suasana asam, suasana basa dan pemisahan dengan menggunakan KKCv. Variasi zat warna yang dihasilkan dapat dilihat pada Tabel IV.1 dan Tabel IV.2.

Tabel IV.1. Zat Warna Kulit Terong Ungu dalam Suasana Asam dan Basa

No	pH	Zat Warna
1	pH 1	
2	pH 8	

Tabel IV.2. Zat Warna Kulit Terong Ungu Berdasarkan Pemisahan KKCv

No	Eluen	Zat Warna
1	n-heksan:etil asetat (8:2)	
2	n-heksan:metanol (5:5)	
3	Metanol:etil asetat (8:2)	

Data efisiensi DSSC dari variasi zat warna kulit terong ungu, disajikan dalam Tabel IV.3 dan Tabel IV.4.

Tabel IV.3. Data Efisiensi Zat Warna Kulit Terong Ungu dalam Suasana Asam dan Basa

No	pH	Volt (mV)	Arus (mA)	P_{Max} (mW)	P_{In} (mW/cm ²)	Efisiensi (η)
1	pH 1	105	1,6	0,000168	3,07482	0,0054 %
2	pH 8	170	16	0,00272	12,88496	0,0211 %

Tabel IV.4. Data Efisiensi Zat Warna Kulit Terong Ungu Berdasarkan Pemisahan KKC

No	Eluen	Volt (mV)	Arus (mA)	P_{Max} (mW)	P_{In} (mW/cm ²)	Efisiensi (η)
1	n-Heksan:etil asetat (8:2)	104	12	0,001248	12,870318	0,0097 %
2	n-Heksan:etil asetat (5:5)	61	1,6	0,0000918	7,83347	0,0011%
3	Metanol:etil asetat (8:2)	43	9,6	0,0004128	12,928886	0,0032%

Keterangan: Volt (mV) = Tegangan yang dihasilkan oleh DSSC
 Arus (mA) = Arus yang dihasilkan oleh DSSC
 P_{Max} (mW) = Daya yang dihasilkan oleh DSSC
 P_{In} (mW/cm²) = Daya sinar matahari yang masuk ke dalam DSSC
 Efisiensi (η) = Kemampuan DSSC dalam mengkonversi energi matahari menjadi energi listrik

Zat warna yang memiliki efisiensi paling tinggi adalah zat warna pada pH 8. Zat warna tersebut selanjutnya dikarakterisasi untuk mengetahui jenis senyawanya. Analisis yang dilakukan untuk karakterisasi meliputi analisis UV-Vis, FTIR dan GC-MS. Data hasil analisis disajikan berturut-turut pada Tabel IV.5, IV.6 dan IV.7.

Tabel IV.5. Data Hasil Analisis UV-Vis Zat Warna Kulit Terong Ungu pada pH 8

No. Puncak	Panjang Gelombang (nm)	Absorbansi
1	754.50	0.075
2	662.00	0.155
3	601.50	0.142
4	535.00	0.182
5	521.50	0.189
6	505.50	0.207
7	499.00	0.212
8	285.50	0.265
9	222.00	4.024

Tabel IV.6. Data Hasil Analisis FTIR Zat Warna Kulit Terong Ungu pada pH 8

Nomor	Bilangan Gelombang	Jenis Ikatan
1	3444,87	Ar-OH
2	2924,09	C-H
3	2852,72	C-H
4	1641,42	C=C

Tabel IV.7. Data Hasil Analisis GC-MS Zat Warna Kulit Terong Ungu pada pH 8

Fragmen (m/z)	Jenis Senyawa
121, 141,169,197,207	Pelargonidin

B. Pembahasan

Pada penelitian ini, kulit terong ungu dikeringkan terlebih dahulu pada suhu kamar yang bertujuan untuk menghilangkan kadar air dalam kulit terong ungu. Kulit terong ungu kering selanjutnya dibuat menjadi serbuk yang berfungsi untuk memperluas permukaan sampel selain itu pelarut yang digunakan pada saat ekstraksi akan lebih sedikit.

Serbuk kulit terong ungu selanjutnya diekstraksi menggunakan pelarut HCl 1% dalam metanol dengan tujuan untuk menarik komponen zat warna yang berada dalam kulit terong ungu. Proses ekstraksi dilakukan dengan menggunakan bantuan gelombang ultrasonik. Energi yang dihasilkan oleh gelombang ultrasonik dapat menyebabkan terjadinya efek kavitasi pada pelarut. Efek kavitasi tersebut akan mempermudah pelarut dalam menembus dinding-dinding sel sampel sehingga zat warna yang terdapat dalam sampel dapat terekstrak secara sempurna. Selain itu, cara pengerjaan maserasi menggunakan gelombang ultrasonik lebih efisien (waktu dan pelarut yang digunakan sedikit) dibandingkan jika menggunakan metode maserasi konvensional.

Penggunaan HCl 1% dalam metanol sebagai pelarut disebabkan karena zat warna yang terkandung dalam kulit terong ungu merupakan antosianin. Zat warna yang dihasilkan oleh antosianin dapat berubah warna dengan mudah apabila dalam kondisi basa maupun netral. Bahkan dalam kondisi asam, zat warna yang dihasilkan dapat memudar secara perlahan. Oleh sebab itu, untuk mempertahankan kestabilan zat warna antosianin harus diekstraksi dengan menggunakan pelarut yang mengandung asam asetat atau asam hidroklorida (Harbone, 1987: 78).

Zat warna yang diperoleh dari hasil ekstraksi kemudian diuapkan pelarutnya dengan menggunakan *rotary evaporator*. Tujuan penggunaan *rotary evaporator* yaitu untuk menurunkan tekanan uap pelarut, sehingga pelarut akan menguap pada temperatur yang lebih rendah dibawah titik didih sebenarnya. Selain itu, zat warna pada sampel akan terhindar dari proses termolisis.

Zat warna yang dihasilkan dari ekstraksi selanjutnya divariasikan warnanya berdasarkan pH serta pemisahan dengan menggunakan KKC. Pada suasana asam digunakan pH 1 sedangkan untuk suasana basa digunakan pH 8. Variasi pH bertujuan untuk mengetahui kemampuan zat warna yang dihasilkan oleh kulit terong ungu sebagai *photosensitizer*. Pada proses KKC digunakan 3 jenis eluen yaitu n-heksan:etil asetat (8:2 dan 5:5) serta metanol:etil asetat (8:2). Pemilihan rentang eluen didasarkan pada tingkat kepolaran. Di mana, eluen yang mengandung lebih banyak pelarut non-polar akan mengelusi senyawa non-polar sedangkan untuk eluen yang mengandung pelarut polar lebih banyak akan dengan mudah mengelusi senyawa polar. Zat warna kulit terong ungu yang telah divariasikan warnanya, selanjutnya akan digunakan sebagai *photosensitizer* pada DSSC.

DSSC terdiri dari dua komponen utama yaitu elektroda kerja dan elektroda pembanding. Di mana elektroda kerja terdiri dari beberapa lapisan yaitu kaca TCO, pasta TiO_2 , zat warna dan larutan elektrolit. Sedangkan, elektroda pembanding hanya terdiri dari kaca TCO yang dilapisi dengan karbon.

Kaca TCO yang digunakan pada penelitian ini adalah kaca jenis *Indium Tin Oxide* (ITO) yang memiliki nilai hambatan sebesar 100Ω . Besarnya nilai hambatan yang dimiliki oleh kaca TCO dapat menjadi salah satu faktor rendahnya nilai efisiensi yang diperoleh. Seperti yang diketahui bahwa nilai hambatan berbanding terbalik

dengan arus. Sehingga, konversi cahaya matahari menjadi energi listrik sangat rendah. Metode pelapisan TiO₂ pada permukaan kaca TCO dilakukan dengan metode *doctor blade*. TiO₂ yang digunakan bukanlah TiO₂ nanopartikel melainkan TiO₂ *teknis*. Sehingga, TiO₂ tersebut sebelum dibuat menjadi pasta, terlebih dahulu harus dihilangkan pengotornya dengan cara dilarutkan dalam air panas.

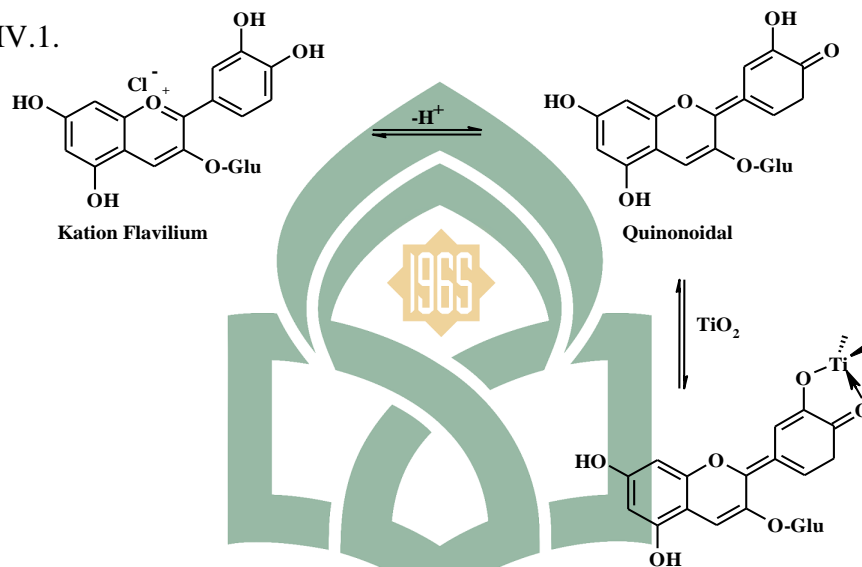
DSSC selanjutnya dirangkaikan dengan 2 buah multimeter, potensiometer dan *light* meter sebelum disinari dengan cahaya matahari. Multimeter berfungsi untuk mengukur arus dan tegangan dari DSSC. Potensiometer berfungsi untuk mengatur arus dan tegangan hingga berada dalam angka nol. Sedangkan, *light* meter berfungsi untuk mengukur besarnya intensitas cahaya yang masuk ke dalam perangkat DSSC (P_{in}). Satuan yang digunakan pada *light* meter adalah lux, di mana 1 lux setara dengan 1,464 x 10⁻⁷ W/m². Efisiensi DSSC dapat dihitung dengan menggunakan persamaan:

$$\eta = \frac{P_{\max}}{P_{\text{in}}} \times 100\%$$

Berdasarkan data pengamatan yang ditunjukkan pada Tabel 5 dan Tabel 6, dapat dilihat bahwa yang memiliki efisiensi paling tinggi adalah zat warna pada pH 8 dibandingkan dengan zat warna pada pH 1 ataupun zat warna yang dihasilkan dari pemisahan dengan KKC. Hal tersebut disebabkan oleh kemampuan zat warna dalam pH 8 untuk berikatan dengan TiO₂ lebih bagus jika dibandingkan dengan zat warna pH 1 maupun pemisahan dengan KKC.

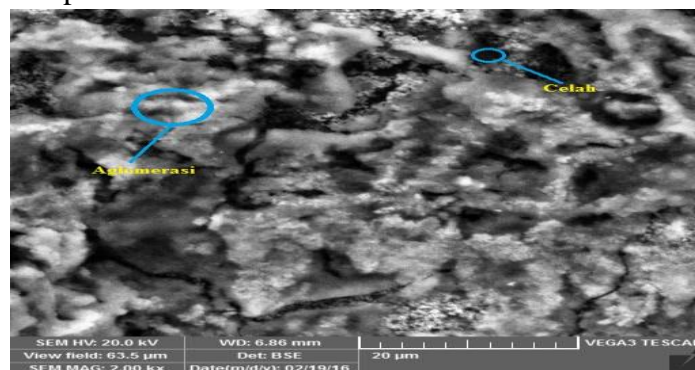
Kemampuan zat warna kulit terong ungu pada pH 1 dan pH 8 untuk berikatan dengan TiO₂ dipengaruhi oleh bentuknya. Zat warna kulit terong ungu dalam kondisi sangat asam (pH 1-2) berada dalam bentuk kation flavilium, yang mana pada bentuk tersebut zat warna akan menghasilkan warna paling menonjol serta kondisinya sangat

stabil. Sehingga zat warna dalam kondisi tersebut akan susah untuk berikatan dengan TiO_2 . Dibandingkan dengan zat warna dalam kondisi basa yang berubah bentuk menjadi basa quinonodial. Ikatan antara TiO_2 dan antosianin dapat dilihat pada Gambar IV.1.



Gambar IV.1. Ikatan Antara TiO_2 dan Antosianin

Berdasarkan pada penelitian DSSC sebelumnya, efisiensi yang diperoleh masih sangat rendah. Hal tersebut disebabkan oleh karena TiO_2 yang digunakan memiliki ukuran partikel yang besar. Sehingga zat warna yang teradsorpsi pada permukaan TiO_2 sangat sedikit. Morfologi dari TiO_2 yang telah dilapisi oleh zat warna dapat dilihat pada Gambar IV.2.



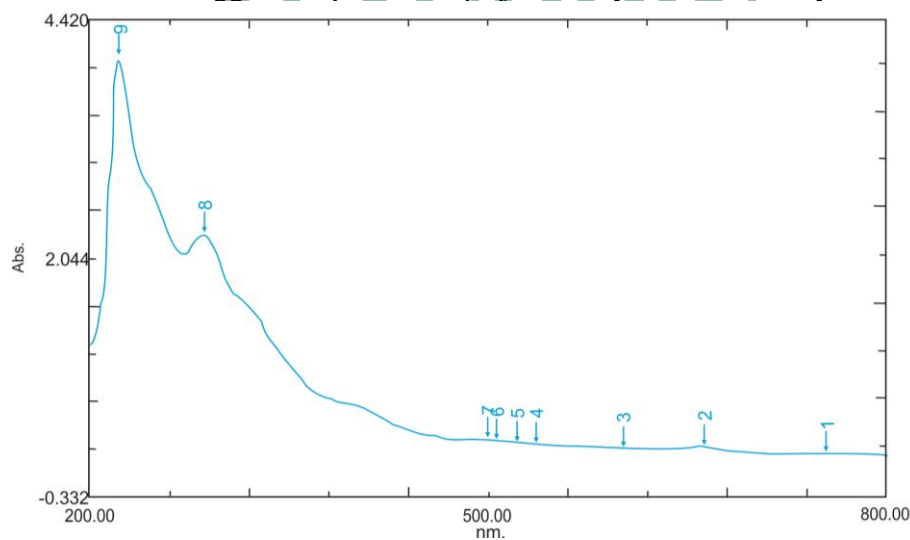
Gambar IV.2. Hasil Uji SEM TiO_2 yang dilapisi Zat Warna pada Perbesaran Skala $10 \mu\text{m}$

Hasil uji SEM menunjukkan adanya aglomerasi pada beberapa bagian serta terlihat adanya celah pada permukaan TiO₂ yang menandakan bahwa zat warna terserap secara tidak merata pada permukaan TiO₂. Zat warna yang terserap pada permukaan TiO₂ disebabkan karena adanya gugus hidroksil (-OH) dan gugus karbonil (C=O) pada zat warna.

Zat warna pada pH 8 selanjutnya dianalisis dengan menggunakan beberapa instrumen untuk mengetahui karakteristik senyawa yang terdapat dalam zat warna tersebut. Analisis tersebut meliputi:

1. Analisis UV-Vis

Analisis dengan UV-Vis bertujuan untuk mengetahui jenis senyawa yang terdapat dalam zat warna berdasarkan pada panjang gelombang maksimum. Data hasil analisis zat warna kulit terong ungu pada pH 8 (Tabel IV.5), menunjukkan beberapa puncak (Gambar IV.3) yang disebabkan oleh zat warna yang dianalisis belum murni. Sehingga terdapat beberapa jenis senyawa di dalamnya.

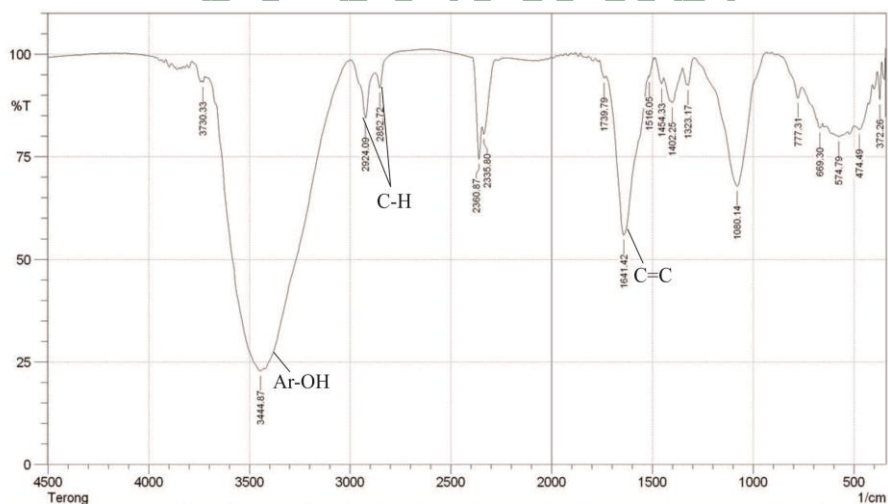


Gambar IV.3. Hasil Analisis UV-Vis Zat Warna Kulit Terong Ungu pada pH 8

Penyerapan maksimum pada daerah UV berada pada panjang gelombang 222 nm yang merupakan λ_{maks} dari pelarut metanol. Sedangkan untuk daerah visibel terdapat beberapa puncak serapan pada panjang gelombang 505 nm, 521 nm dan 535 nm yang merupakan serapan untuk senyawa antosianin dengan kisaran serapan antara 475–550 nm (Harbone, 1987: 24).

2. Analisis FTIR

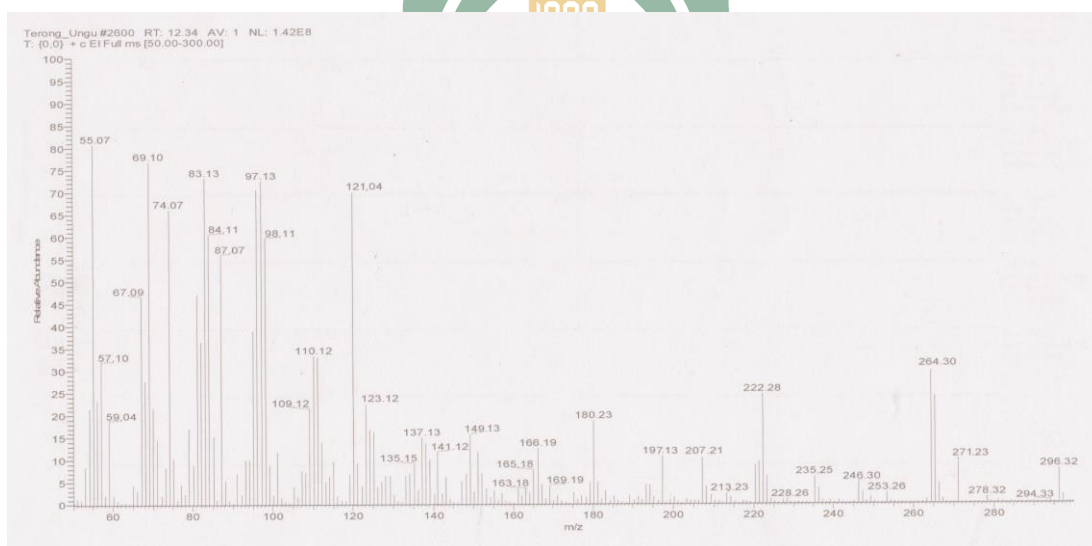
Analisis dengan FTIR bertujuan untuk mengetahui gugus-gugus fungsi dan jenis ikatan yang terdapat dalam zat warna. Spektrum yang dihasilkan oleh FTIR berupa pita-pita serapan pada bilangan gelombang tertentu. Hasil analisis FTIR diperlihatkan pada Gambar IV.4. Pita lebar pada bilangan gelombang 3444,87 cm^{-1} menunjukkan adanya vibrasi -OH pada group fenol (Ar-OH). Intensitas pita pada bilangan gelombang 2852,72 cm^{-1} dan 2924,09 cm^{-1} menunjukkan adanya vibrasi ikatan C-H . Pita serapan pada bilangan gelombang 1641,42 cm^{-1} menunjukkan adanya vibrasi dari ikatan C=C .



Gambar IV.4. Hasil Analisis FTIR Zat Warna Kulit Terong Ungu pada pH 8

3. Analisis GC-MS

Analisis dengan GC-MS bertujuan untuk mengetahui struktur molekul berdasarkan dari fragmen yang dihasilkan serta berat molekulnya. Hasil analisis GC-MS zat warna kulit terong ungu dalam suasana basa dapat dilihat pada Gambar IV.5. Berdasarkan hasil analisis UV-Vis dan FTIR dugaan senyawa yang terdapat pada zat warna adalah antosianin. Pada Tabel IV.8 disajikan berat molekul dari beberapa jenis antosianin.

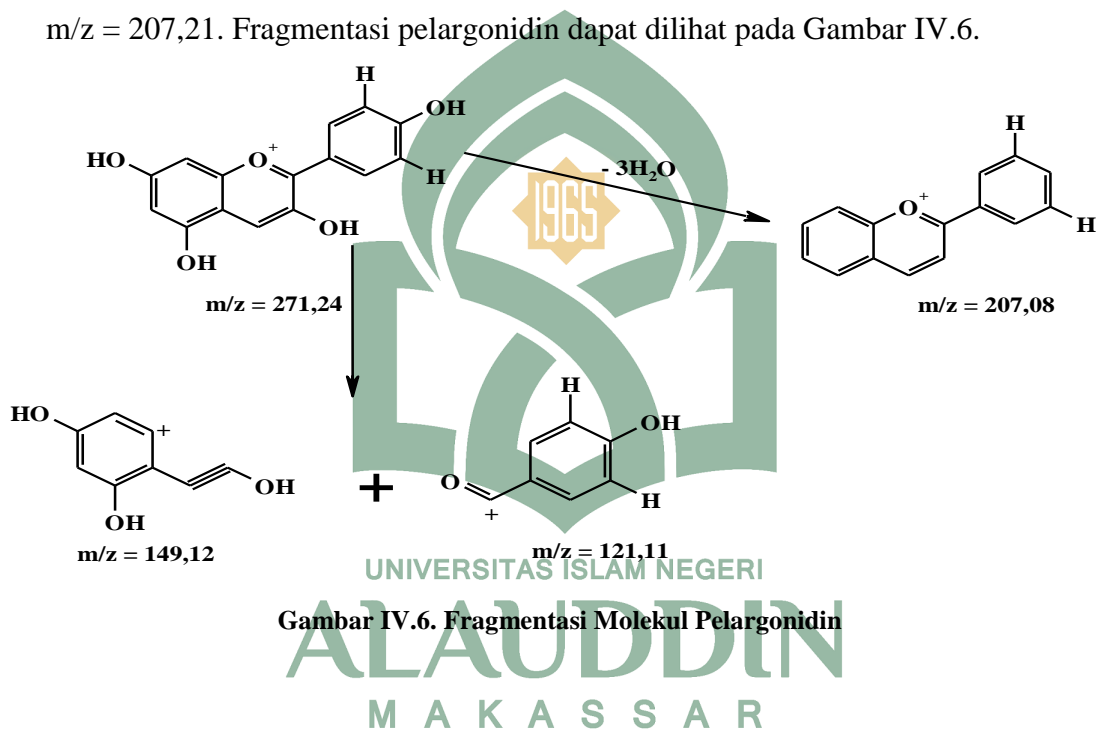


Gambar IV.5. Hasil Analisis GC-MS Zat Warna Kulit Terong Ungu pada pH 8

Tabel IV.8. Data Berat Molekul Antosianin

Antosianin	R₁	R₂	Berat Molekul (gr/mol)
Delpinidin	OH	OH	303,24
Petunidin	OH	OCH ₃	317,27
Malvidin	OCH ₃	OCH ₃	331,29
Sianidin	OH	H	287,24
Peonidin	OCH ₃	H	301,27
Pelargonidin	H	H	271,24

Hasil analisis GC-MS menunjukkan adanya fragmen pada $m/z = 271,23$ yang merupakan berat molekul dari pelargonidin. Terdapat pula beberapa fragmen khusus untuk pelargonidin yaitu $m/z = 121$, $m/z = 141$, $m/z = 197$ dan $m/z = 169$. Serapan khusus untuk kerangka dasar antosianin berada pada fragmen dengan $m/z = 207,21$. Fragmentasi pelargonidin dapat dilihat pada Gambar IV.6.



Gambar IV.6. Fragmentasi Molekul Pelargonidin

BAB V

PENUTUP

A. Kesimpulan

Kesimpulan dari hasil penelitian ini, yaitu:

1. Efisiensi Zat warna kulit terong ungu yang dihasilkan dalam suasana asam (pH 1) sebesar 0,0054% dan suasana basa (pH 8) sebesar 0,0211%. Sedangkan efisiensi hasil fraksinasi menggunakan KKCVC dengan eluen n-heksan:etil asetat (8:2) sebesar 0,0097%, n-heksan:etil asetat (5:5) sebesar 0,0011%, dan metanol:etil asetat (8:2) sebesar 0,0032%.
2. Hasil karakterisasi dengan UV-Vis menunjukkan adanya serapan pada panjang gelombang 521 nm, 505 nm dan 535 nm yang merupakan serapan untuk senyawa antosianin. Untuk karakterisasi FTIR terdapat beberapa jenis ikatan Ar-OH, C-H dan C=C. Karakterisasi GC-MS menunjukkan beberapa fragmen khusus yaitu $m/z = 121$, $m/z = 141$, $m/z = 271,23$, $m/z = 197$ dan $m/z = 169$. Berdasarkan hasil karakterisasi dugaan senyawa yang terdapat dalam kulit terong ungu yaitu senyawa pelargonidin.

B. Saran

Saran untuk penelitian penelitian tentang DSSC selanjutnya, yaitu:

1. Perlu dilakukan variasi zat warna kulit terong ungu berdasarkan pH dari pH 1 sampai pH 14.
2. Perlu digunakan kaca TCO dengan nilai hambatan sebesar 10Ω serta TiO_2 nanopartikel.

DAFTAR PUSTAKA

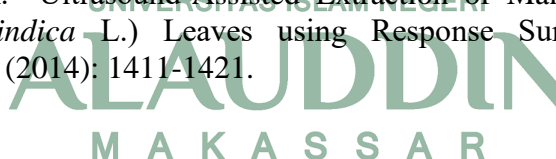
- Abdullah, *Lubaabut Tafsir Ibnu Katsir*. Jakarta: Pustaka Imam asy-Syafi'i. 2004.
- Alhamed, Mounir, dkk. "Studying of Natural Dyes Properties as Photo-sensitizer for Dye Sensitized Solar Cells (DSSC)". *Journal of Electron Devices* 16 (2012): 1370-1383.
- Amao, Yutaka dan Tasuku Komori. "Bio-Photovoltaic Conversion Device using Chlorine-e₆ Derived from Chlorophyll from *Spirulina* Adsorbed on A Nanocrystalline TiO₂ Film Electrode". *Biosensors and Bioelectronics* 19 (2004): 843-847.
- Andarwulan, Nuri dan RH Fitri Faradilla. *Pewarna Alami untuk Pangan*. Bogor: Seafast Center, 2012.
- Andersen, Oyvind M dan Kenneth R. Markham. *Flavonoids: Chemistry, Biochemistry and Applications*. New York: CRC Press, 2006.
- Asy-Syuyuthi, Jalaluddin dan Jalaluddin Muhammad Ibn Ahmad Al-Mahalliy. *Tafsir Jalalain*. <http://www.maktabah.-alhidayah.tk>, 2009.
- Bintang, Maria. *Biokimia: Teknik Penelitian*. Jakarta: Erlangga, 2010.
- Bisby, 2004 dalam Rukmanasari, Refilia. "Efek Ekstrak Kulit Terong Ungu (*Solanum melongena* L.) terhadap Kadar LDL dan HDL Darah Tikus Putih". *Skripsi*. Surakarta: Fakultas Kedokteran Universitas Sebelas Maret, 2010.
- Blueprint Pengelolaan Energi Nasional 2005-2025*. Jakarta: 2005.
- Bouchonnet, Stephane. *Introduction to GC-MS Coupling*. New York: CRC Press, 2013.
- Chang, Ho dan Yu-Jen-Lo. "Pomegranate Leaves and Mulberry Fruit as Natural Sensitizers for Dye-Sensitized Solar Cells". *Solar Energy* 84 (2010): 1833-1837.
- Chien, Chiang-Yu dan Ban-Dar Hsu. "Optimization of The Dye-Sensitized Solar Cell with Anthocyanin as Photosensitizer". *Solar Energy* 98 (2013): 203-211.
- Davies, Kevin. *Plant Pigment and Their Manipulation Annual Plant Reviews, Vol. 4*. Amerika Serikat: CRC Press, 2004.
- Delazar, Abbas, dkk. *Microwave-Assisted Extraction in Natural Product Isolation vol. 864*. New York: Springer, 2012.
- Ekasari, Vitriany dan Gatut Yudoyono. "Fabrikasi DSSC dengan Dye Ekstrak Jahe Merah (*Zingiber officinale* Linn Var. *Rubrum*) Variasi Larutan TiO₂

- Nanopartikel Berfase Anastase dengan Teknik Pelapisan *Spin Coating*". *Jurnal Sains dan Seni Pomits* 2, no. 1 (2013): 15-20.
- Fernando dan Senadeera. "Natural Anthocyanins as Photosensitizers for Dye Sensitized Solar Devices". *Current Science* 95, no. 5 (2008): 663-666.
- Fitra, M, dkk. "Dye Solar Cell using Syzigium Oleina Organic Dye". *Energy Procedia* 36 (2013): 341-348.
- Gallo, Monica, dkk. "Nasunin, An Antioxidant Anthocyanin from Eggplant Peels, as Natural Dye to Avoid Food Allergies and Intolerance". *European Scientific Journal* 10, no. 9 (2014): 1-11.
- Ginting, Delovita. "Pembuatan Prototipe Dye Sensitized Solar Cell Dengan Dye Klorofil Bayam Merah". *Skripsi*. Medan: Fakultas Matematika dan Ilmu Pengetahuan Alam Universitas Sumatera Utara, 2011.
- Goetzberger, A. dan V.U. Hoffmann. *Photovoltaic Solar Energy Generation*. New York: Springer, 2005.
- Gratzel, Michael. "Photoelectrochemical Cells". *Nature* 414 (2001): 338-344.
- Gratzel, Michael dan Brian O'Regan. "A Low-Cost, High-Efficiency Solar Cell Based On Dye-Sensitized Colloidal TiO₂ Films". *Nature* 353 (1991): 737-739.
- Grotewold, Erich. *The Science of Flavonoid*. Amerika Serikat: Springer, 2006.
- Halme, Aarne dan Janne Paanajärvi. *Bionic Machines and Systems*. Helsinki: Helsinki University of Technology, 2004.
- Handini, Wulandari. "Performa Sel Surya Tersensitasi Zat Pewarna (DSSC) berbasis ZnO dengan Variasi Tingkat Pengisian dan Besar Kristalit TiO₂". *Skripsi*. Depok: Fakultas Teknik Universitas Indonesia, 2008.
- Harbone, J.B. *Phytochemical Methods*, terj. Kosasih Padmawinata dan Iwang Soediro. *Metode Fitokimia: Penuntun Cara Modern Menganalisis Tumbuhan*. Bandung: ITB, 1987.
- Hardian, Arie, dkk. "Sintesis dan Karakterisasi Kristal Cair Ionik Berbasis Garam *Fatty Imidazolium* sebagai Elektrolit Redoks pada Sel Surya Tersensitasi Zat Warna". *Jurnal Sains dan Teknologi Kimia* 1, no. 1 (2010): 7-16.
- Hug, Hubert, dkk. "Biophotovoltaics: Natural Pigments in Dye-Sensitized Solar Cells". *Applied Energy* 115 (2014): 216-225.
- Ibrahim, Sanusi dan Marham Sitorus. *Teknik Laboratorium Kimia Organik*. Yogyakarta: Graha Ilmu, 2013.

- Jasim, Khalil Ebrahim. "Dye Sensitized Solar Cells-Working Principles, Challenges, and Opportunities". Kingdom of Bahrain: Department of Physics University of Bahrain, 2011.
- Jos, Bakti, dkk. "Ekstraksi Oleoresin dari Kayu Manis berbantu Ultrasonik dengan Menggunakan Pelarut Alkohol". *Reaktor* 13, no. 4 (2011) 231-236.
- Kay, Andreas dan Michael Gratzel. "Low Cost Photovoltaic Modules Based on Dye Sensitized Nanocrystalline Titanium Dioxide and Carbon Powder". *Solar Energi Material and Solar Cells* 44 (1996): 99-117.
- Kepala Badan Geologi Kementrian Energi dan Sumber Daya Mineral (ESDM) tentang Cadangan Minyak di Indonesia, 2014.
- Kishimoto, Sanae, dkk. "Analysis of Carotenoid Composition in Petals of Calendula (*Calendula officinalis* L.)". *Biosci, Biotechnol, Biochem* 69 (11) (2005): 2122-2128.
- Kruger, Jessica. "Interface Engineering in Solid-State Dye-Sensitized Solar Cells". *Thesis*. Lausanne: Faculte Science De Base Universitat Heidburg, 2003.
- Ludin, Norasikin A, dkk. "Review on the Development of Natural Dye Photosensitizer for Dye-Sensitized Solar Cells". *Renewable and Sustainable Energy Review* 31 (2014): 386-396.
- Mashudi. *Budi Daya Terung*. Jakarta: Azka Press, 2007.
- Mc Cabe, 1999 dalam Muhiedin, Fuad. "Efisiensi Proses Ekstraksi Oleoresin Lada Hitam dengan Metode Ekstraksi Multi Tahap". *Skripsi*. Malang: Fakultas Teknologi Pertanian Universitas Brawijaya, 2008.
- Narayan, Monishka Rita. "Dye Sensitized Solar Cells Based on Natural Photosensitizer". *Renewable and Sustainable Energy Reviews* 16 (2012): 208-215.
- Natullah, Rizqon dan Gatut Yudoyono. "Karakterisasi Fabrikasi Dye Sensitized Solar Cell (DSSC) pada TiO₂ Fase Anatase dan Rutile". *Jurnal Sains dan Seni Pomits* 2, no. 1 (2013): 1-5.
- Noda, Yasuko, dkk. "Antioxidant Activity of Nasunin, An Anthocyanin in Eggplant Peels". *Toxicology* 148 (2000): 119-123.
- Pedersen, Daniel Sejer dan Christoph Rosenbohm. "Dry Column Vacuum Chromatography". *Synthesis* 2001, no. 16 (2001): 2431-2434.
- Peraturan Pemerintah Republik Indonesia Nomor 79 Tahun 2014 tentang Kebijakan Energi Nasional.
- Polyphenols Laboratories AS. "Delpinidin 3-Rutinoside".

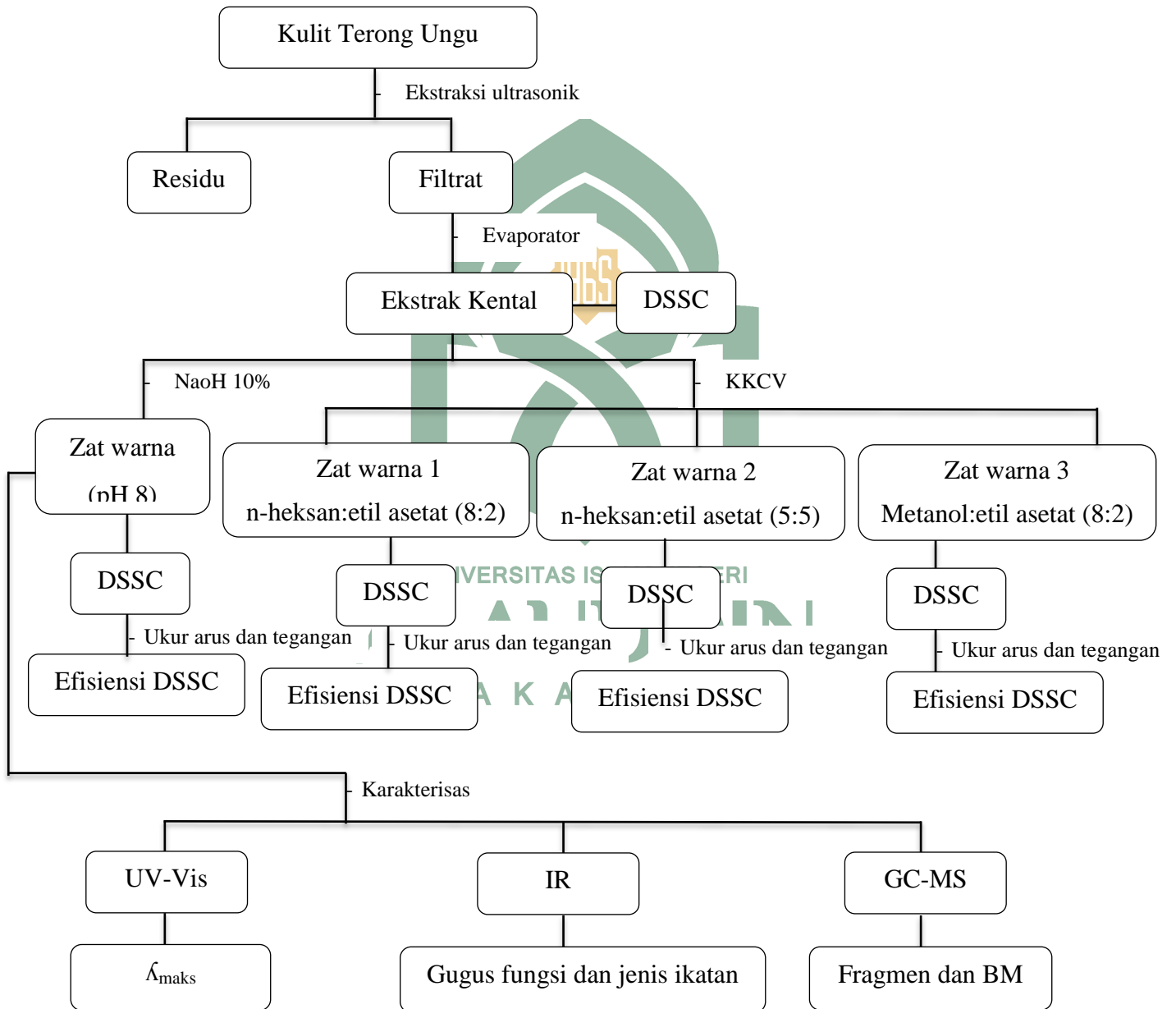
- Purwanto, Helmy, dkk. "Pengembangan *Microwave Assisted Extractor* (MAE) pada Produksi Minyak Jahe dengan Kadar Zingiberene Tinggi". *Momentum* 6, no. 2 (2010): 9-16.
- Rhodes, Christopher J. "Solar Energy: Principles and Possibilities". *Science Progress* 93, no. 1 (2010): 37-112.
- Sadilova, Eva, dkk. "Anthocyanins, Colour and Antioxidant Properties of Eggplant (*Solanum melongena* L.) and Violet Pepper (*Capsicum annum* L.) Peel Extracts". *Z. Naturforsch* 61c (2006): 527-535.
- Sarker, Satyajit D, dkk. *Natural Products Isolation* Ed. 2nd. New Jersey: Humana Press, 2006.
- Sastrawan, Ronald. "Photovoltaic Modules of Dye Solar Cell". *Dissertation*. Breisgau: Fakultat Fur Mathematik und Physik Universitat Freiburg, 2006.
- Shihab, M. Quraish. *Tafsir Al-Misbah: Pesan, Kesan dan Keserasian Al-Qur'an*. Jakarta: Lentera Hati, 2002.
- Silitonga, Partahi dan Berlian Sitorus. "Enkapsulasi Pigmen Antosianin dari Kulit Terong Ungu". *JKK* 3, no. 3 (2014): 49-54.
- Silverstein, Robert M, dkk. *Spectrometric Identification of Organic Compound* Ed. 7th. Amerika Serikat: John Wiley and Sons, Inc, 2005.
- Sinha, Keka dan Puspita Das. "Extraction of Natural Dye from Flame of Forest Flower: Artificial Neural Network Approach". *Textiles and Light Industrial Science and Technology* 1, issue. 1 (2012): 1-5.
- Sitorus, 2009 dalam Cahyana, Agus dan Ahmad Marzuki. "Analisa SEM (*Scanning Electron Microscope*) Pada Kaca TZN yang Dikristalkan Sebagian". *Prosiding Mathematics and Sciences* (2014): 23-26.
- Soenarjo, dkk. *Tafsir al-Qur'an*. Jakarta: Yayasan Penyelenggara Penterjemah/Pentafsir al-Qur'an, 1971.
- Sticher, Otto. "Natural Product Isolation". *Nat. Prod. Rep* 25 (2008): 517-554.
- Subondo dan Sunaryo, 2013 dalam Silitonga, Partahi dan Berlian Sitorus. "Enkapsulasi Pigmen Antosianin dari Kulit Terong Ungu". *JKK* 3, no. 3 (2014): 49-54.
- Supratman, Unang. *Elusidasi Struktur Senyawa Organik*. Universitas Padjajaran, 2006.
- Tim Tafsir Salman. *Tafsir Salman: Tafsir Ilmiah Juz 'Amma*. Bandung: Mizan. 2014.
- Vandri, Webri dan Iskandar R. "Performansi *Prototype Dye-Sensitized Solar Cell* (Dye Sensitizer Kulit Manggis) dengan Hubungan Variasi Hambatan

- Terhadap Efisiensi Konversi Energi Listrik dan Perbandingan Terhadap Sel Surya Konvensional”. *Teknika* 19, no. 2 (2012): 60-68.
- Wardiyati, Siti. “Pemanfaatan Ultrasonik dalam Bidang Kimia”. *Prosiding Pertemuan Ilmiah Ilmu Pengetahuan dan Teknologi dan Teknologi Bahan* (2004): 419-425.
- Widodo, Djoko Adi, dkk. “Pemberdayaan Energi Matahari sebagai Energi Listrik Lampu Pengatur Lalu Lintas”. *Jurnal* 2, no. 2 (2009): 67-72.
- Wongcharee, Kwanchit, dkk. “Dye Sensitized Solar Cell Using Natural Dyes Extracted from Rosella and Blue Pea Flowers”. *Elsevier* (2006): 566-571.
- Yulianto, Brian, 2006 dalam Nadeak, Sahat Marthua Reynard dan Diah Susanti. “Variasi Temperatur dan Waktu Tahan Kalsinasi terhadap Unjuk Kerja Semikonduktor TiO₂ sebagai Dye Sensitized Solar Cell (DSSC) dengan Dye dari Ekstrak Buah Naga Merah”. *Jurnal Teknik ITS* 1 (2012): 81-86.
- Yuniwati, Murni, dkk. “Optimasi Kondisi Proses Ekstraksi Zat Pewarna dalam Daun Suji dengan Pelarut Etanol”. *Prosiding Seminar Nasional Aplikasi Sains dan Teknologi Periode III* (2012): 257-263.
- Zhou, Huizhi, dkk. “Dye-Sensitized Solar Cells using 20 Natural Dyes as Sensitizers”. *Journal of Photochemistry and Photobiology A: Chemistry* 219 (2011): 188-194.
- Zou, Tang-Bin, dkk. “Ultrasound Assisted Extraction of Mangiferin from Mango (*Mangifera indica* L.) Leaves using Response Surface Methodology”. *Molecules* 19 (2014): 1411-1421.



Lampiran 1

DIAGRAM ALIR PENELITIAN



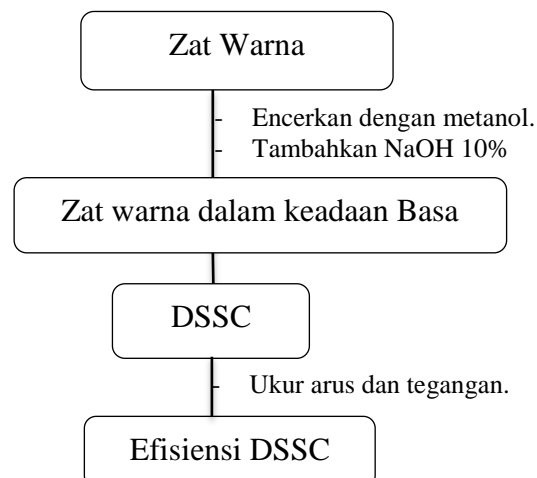
Lampiran 2

DIAGRAM ALIR PROSEDUR KERJA

1. Ekstraksi Zat Warna pada Kulit Terong Ungu

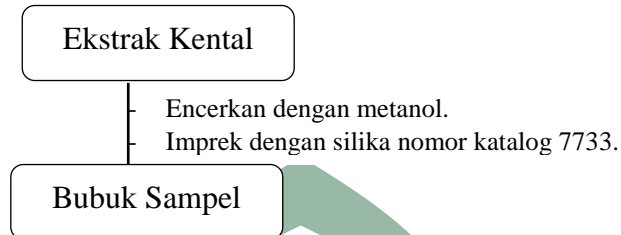


2. Variasi pH Zat Warna Kulit Terong Ungu

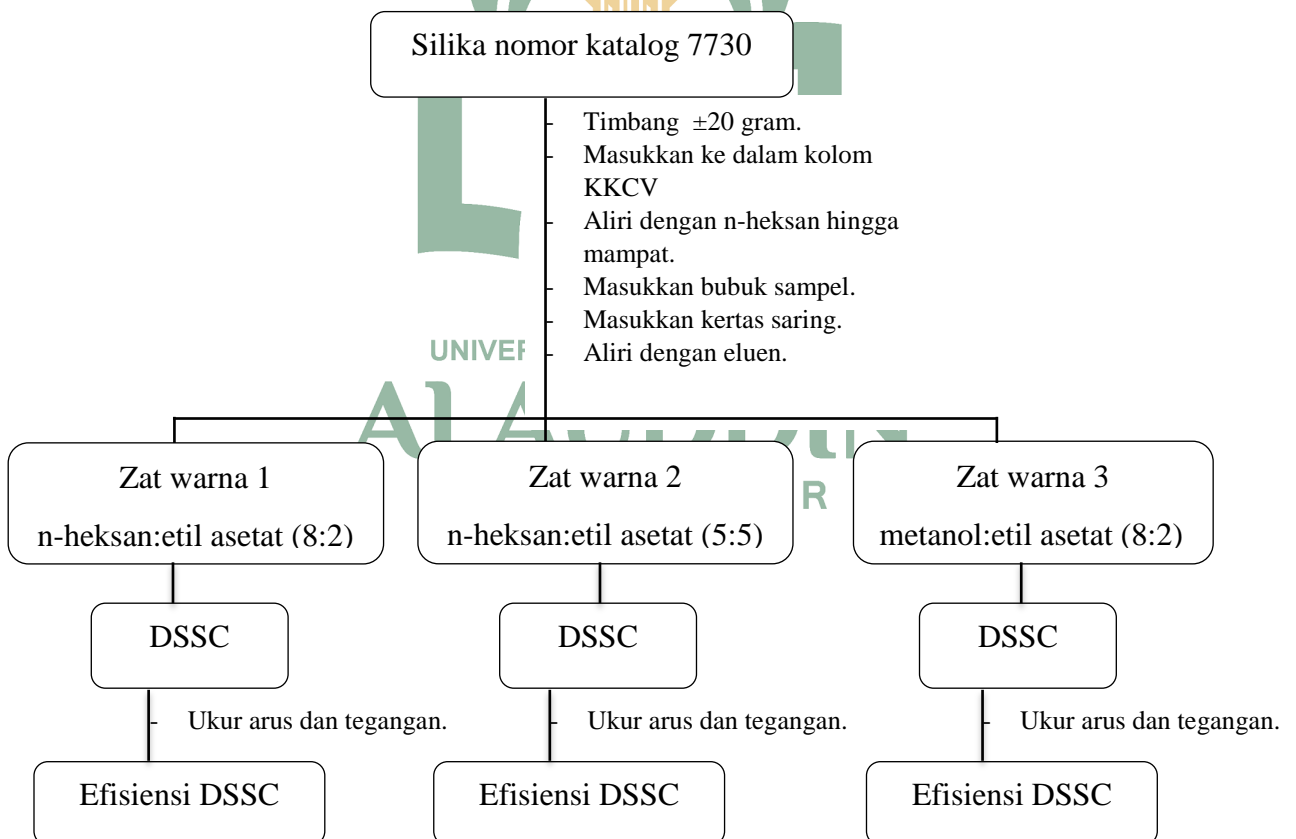


3. Fraksinasi Awal (KKCV)

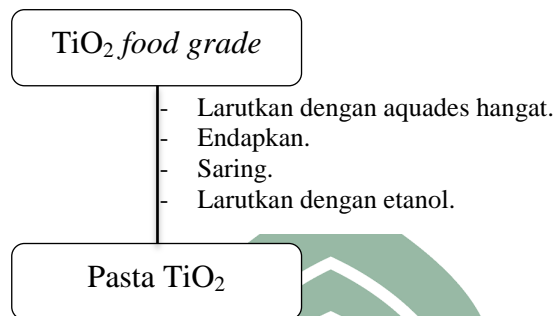
a. Preparasi Zat Warna



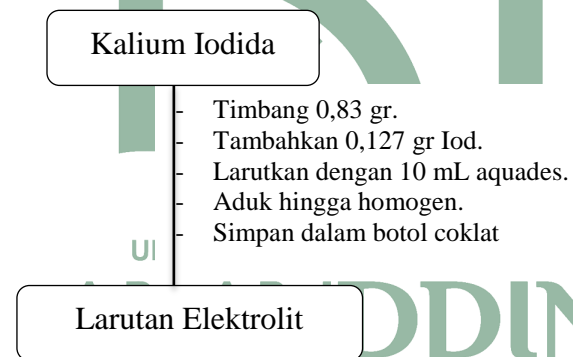
b. Proses KKCV



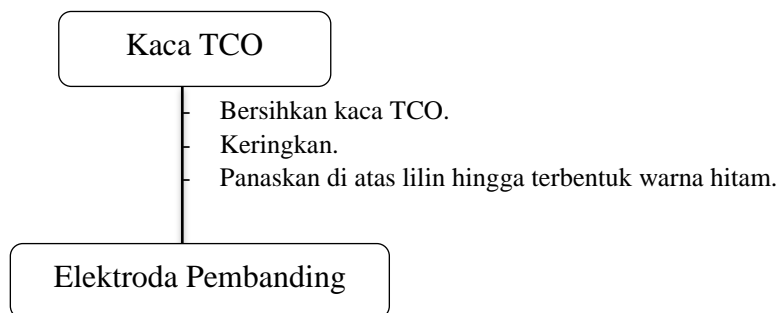
4. Pembuatan Pasta TiO₂



5. Pembuatan Larutan Elektrolit



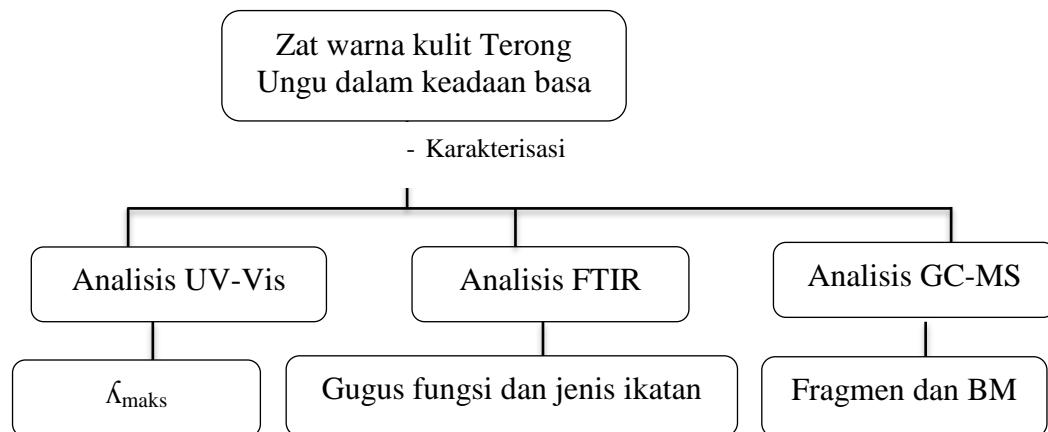
6. Pembuatan Elektroda Pembanding



7. Rangkaian Perangkat DSSC



8. Karakterisasi Zat Warna Kulit Terong Ungu



9. Uji *Scanning Electron Microscopy* (SEM)

Kaca TCO

Potong hingga berukuran 0,5 cm x 0,5 cm.
Bersihkan.
Keringkan.
Tutup salah satu sisi dengan isolasi bening.
Lapisi dengan pasta TiO₂.
Sintering selama 30 menit.
Tetesi dengan zat warna dalam keadaan basa.
Analisis dengan SEM.

Elektroda Pembanding

Lampiran 3

DOKUMENTASI PENELITIAN

1. Ekstraksi Zat Warna Kulit Terong Ungu



Buah Terong Ungu



Kulit Terong Ungu



Serbuk kulit Terong Ungu



Kulit Terong Ungu kering



Serbuk kulit Terong Ungu ditambahkan dengan HCl 1% dalam metanol



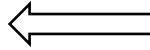
Ekstraksi ultrasonik



Ekstrak kulit Terong Ungu



Hasil ekstraksi ultrasonik



Diuapkan dengan menggunakan rotary evaporator

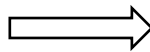


Ekstrak kental Terong Ungu

2. Variasi pH Zat Warna Kulit Terong Ungu



Ekstrak kental Terong Ungu

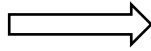


Zat warna kulit terong ungu dalam kondisi basa

3. Proses KKC



Silika nomor katalog 7730
ditimbang ± 20 gram



Proses pemanapan silika
nomor katalog 7730



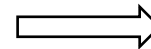
Proses imprek sampel +
silika nomor katalog 7733



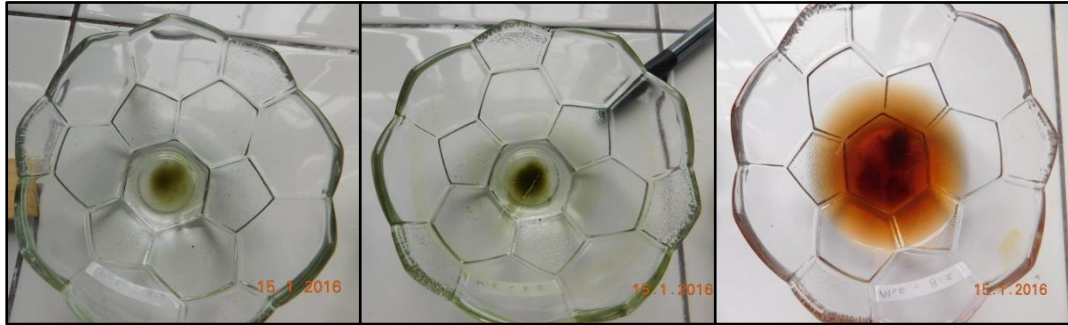
Silika nomor katalog 7733
ditimbang ± 3 gram



Sampel dimasukkan ke dalam
corong *sintered glass*



Proses pemisahan dengan
KCV



Fraksi N-heksan:Etil
Asetat (8:2)

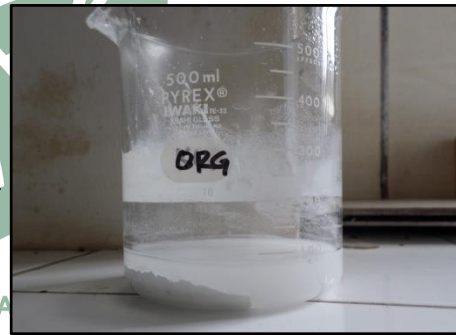
Fraksi N-heksan:Etil
Asetat (5:5)

Fraksi Metanol:Etil
Asetat (8:2)

5. Pembuatan Pasta TiO₂



Bubuk TiO₂ dicampur dengan
air panas



Larutan TiO₂ diendapkan

M A K A S S A R

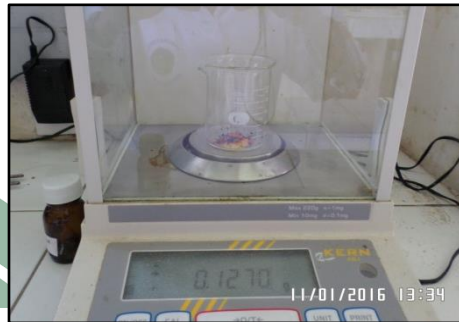


Larutan TiO₂ disaring lalu
dimasukkan ke dalam wadah

6. Pembuatan Larutan Elektrolit



KI ditimbang sebanyak 0,83 gr



Iod ditimbang sebanyak 0,127 gr

+

1965



Larutan elektrolit disimpan dalam botol gelap

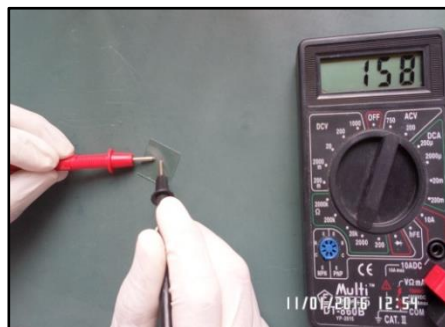
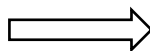


Dilarutkan dengan aquades 10 mL

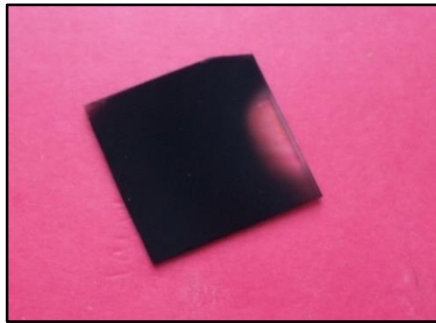
7. Pembuatan Elektroda Pembanding



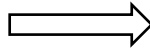
Kaca TCO dibersihkan dengan menggunakan alat ultrasonik



Kaca TCO diukur hambatannya



Elektroda pembeding

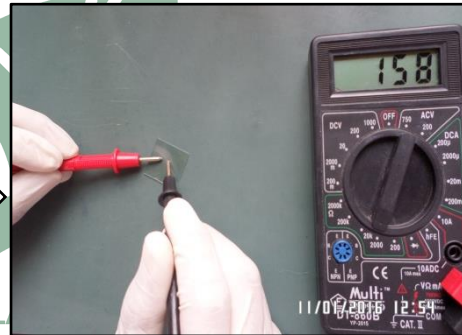


Kaca TCO dipanaskan diatas lilin

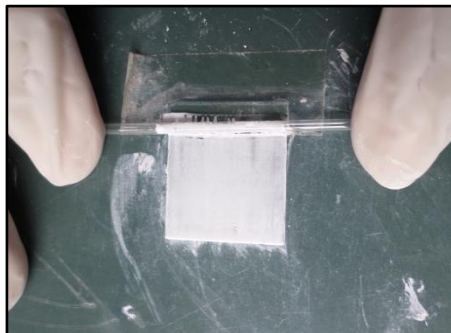
8. Rangkaian Perangkat DSSC



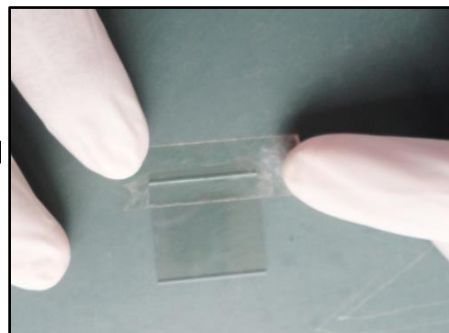
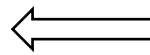
Kaca TCO dibersihkan dengan menggunakan alat ultrasonik



Kaca TCO diukur hambatannya



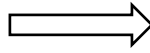
Dilapisi dengan pasta TiO_2



Salah satu sisi kaca TCO ditutupi dengan isolasi bening



Sintering selama 30 menit



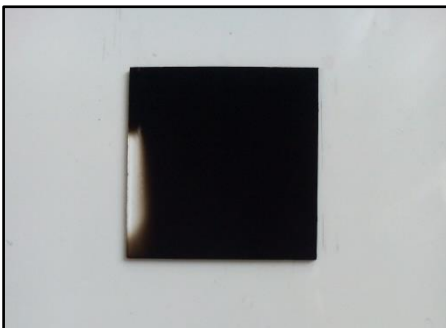
Dinginkan pada suhu ruang



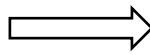
Tetesi larutan elektrolit



Tetesi dengan zat warna

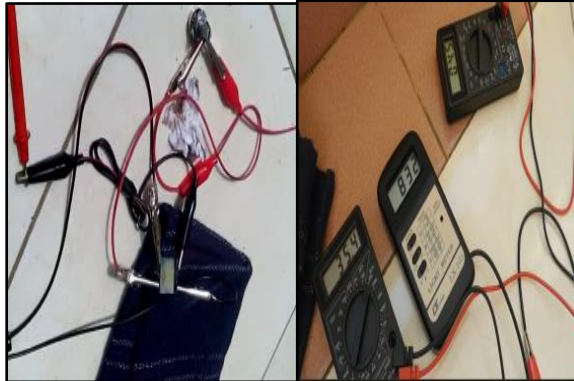


Tutup dengan elektroda karbon



Perangkat DSSC





Arus dan tegangan diukur

9. Karakterisasi FTIR



Sampel dimasukkan ke dalam lumpang



Sampel ditambahkan dengan KBr



Dimasukkan ke dalam alat untuk membuat pelet



Sampel + KBr digerus



Proses pembuatan pelet



Proses pengeluaran pelet



Pelet dimasukkan ke dalam wadah sampel FTIR



Pembacaan oleh detektor

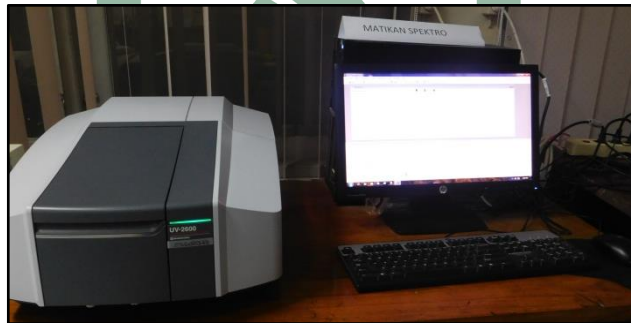
10. Karakterisasi UV-Vis



Proses pembacaan blanko



Sampel dimasukkan ke dalam kuvet



Pembacaan sampel oleh detektor

Lampiran 4

DATA EFISIENSI ZAT WARNA KULIT TERONG UNGU

Tabel Perhitungan Efisiensi Kulit Terong Ungu Suasana Basa

V (mV)	I (mA)	Lux	$P_{in}(mwatt/cm^2)$	P_{in} (mW)	η
31	24,1	87900	12,870318	0,0007471	0,0058048
45	23,9	87900	12,870318	0,0010755	0,0083564
73	23	88000	12,88496	0,001679	0,0130307
83	22,2	88000	12,88496	0,0018426	0,0143004
92	21,2	87800	12,855676	0,0019504	0,0151715
100	20,9	87900	12,870318	0,00209	0,0162389
108	20,3	87900	12,870318	0,0021924	0,0170345
116	20,1	87800	12,855676	0,0023316	0,0181367
126	19,6	88000	12,88496	0,0024696	0,0191665
133	18,5	87900	12,870318	0,0024605	0,0191176
136	18,6	87900	12,870318	0,0025296	0,0196545
149	17,8	88300	12,928886	0,0026522	0,0205138
156	17,3	87800	12,855676	0,0026988	0,0209931
161	16,8	87900	12,870318	0,0027048	0,0210158
170	16	88000	12,88496	0,00272	0,0211099
173	15,4	87400	12,797108	0,0026642	0,0208188
170	15,1	87200	12,767824	0,002567	0,0201052
169	15	87200	12,767824	0,002535	0,0198546
163	15,3	87200	12,767824	0,0024939	0,0195327

**Tabel Perhitungan Efisiensi Ekstrak Kulit Terong Ungu pelarut
HCl 1% dalam Metanol**

V (mV)	I (mA)	Lux	$P_{in}(mwatt/cm^2)$	P_{Max} (mW)	η
95	1,8	22800	3,338376	0,000171	0,00512
105	1,6	21000	3,07482	0,000168	0,00546
126	1,2	91500	13,39743	0,0001512	0,00113
124	27	91500	13,39743	0,003348	0,02499
21	7,4	91300	13,368146	0,0001554	0,00116
22	6,7	91700	13,426714	0,0001474	0,0011
23	6	91700	13,426714	0,000138	0,00103
24	5,7	91900	13,455998	0,0001368	0,00102
25	4,9	91900	13,455998	0,0001225	0,00091
26	4,4	91300	13,368146	0,0001144	0,00086
27	3,8	93000	13,61706	0,0001026	0,00075
28	3,5	94900	13,895258	0,000098	0,00071
29	3,3	94800	13,880616	0,0000957	0,00069
30	2,7	95300	13,953826	0,000081	0,00058

Tabel Perhitungan Efisiensi Kulit Terong Ungu
Fraksi N-Heksan: Etil Asetat (5:5)

V (mV)	I (mA)	Lux	P_{in} (mwatt/cm ²)	P_{Max} (mW)	η
72	1	63100	9,239102	0,000072	0,000779297
69	1,2	63100	9,239102	0,0000828	0,000896191
68	1,3	61000	8,93162	0,0000884	0,000989742
66	1,4	65900	9,649078	0,0000924	0,000957604
63	1,5	64000	9,37088	0,0000945	0,001008443
61	1,6	65900	9,649078	0,0000976	0,001011496
54	1,7	53500	7,83347	0,0000918	0,001171894
50	1,8	53500	7,83347	0,00009	0,001148916
47	1,9	53000	7,76026	0,0000893	0,001150735
44	2	53100	7,774902	0,000088	0,001131847
40	2,1	61000	8,93162	0,000084	0,000940479
38	2,2	63000	9,22446	0,0000836	0,000906286
33	2,3	53000	7,76026	0,0000759	0,00097806
32	2,4	52000	7,61384	0,0000768	0,001008689
30	2,5	52100	7,628482	0,000075	0,000983158

Tabel Perhitungan Efisiensi Kulit Terong Ungu
Fraksi N-heksan:Etil Asetat (8:2)

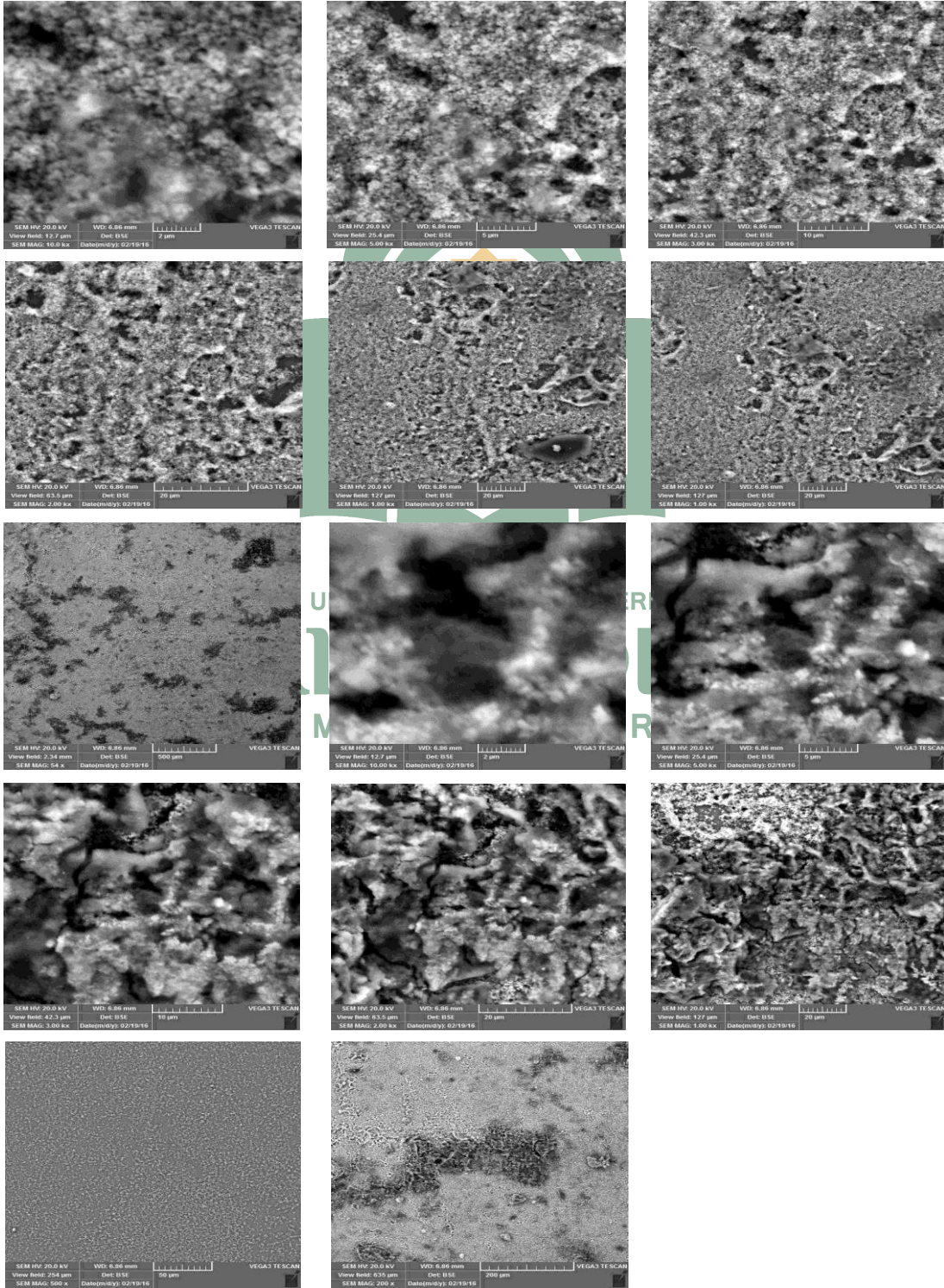
V (mV)	I (mA)	Lux	$P_{in}(mwatt/cm^2)$	P_{Max} (mW)	η
176	3,3	87900	12,870318	0,0005808	0,004512709
164	4,6	87900	12,870318	0,0007544	0,005861549
146	8,3	88000	12,88496	0,0012118	0,009404763
119	9,8	88000	12,88496	0,0011662	0,009050862
118	10	87800	12,855676	0,00118	0,009178825
104	12	87900	12,870318	0,001248	0,00969673
100	12,2	87900	12,870318	0,00122	0,009479175
96	12,5	87800	12,855676	0,0012	0,009334398
95	12,7	88000	12,88496	0,0012065	0,00936363
94	12,8	87900	12,870318	0,0012032	0,009348642
60	15	87900	12,870318	0,0009	0,006992834

Tabel Perhitungan Efisiensi Kulit Terong Ungu
Fraksi Metanol:Etil Asetat (8:2)

V (mV)	I (mA)	Lux	$P_{in}(mwatt/cm^2)$	P_{Max} (mW)	η
36	10,5	88000	12,88496	0,000378	0,002933653
39	10,4	87800	12,855676	0,0004056	0,003155027
40	9,7	87800	12,855676	0,000388	0,003018122
43	9,6	88300	12,928886	0,0004128	0,00319285
44	8,9	87900	12,870318	0,0003916	0,00304266
48	6,5	87900	12,870318	0,000312	0,002424183
50	6,4	87800	12,855676	0,00032	0,002489173
52	6,3	87800	12,855676	0,0003276	0,002548291
53	5,7	87800	12,855676	0,0003021	0,002349935

Lampiran 5

Hasil Uji SEM TiO₂ yang dilapisi Zat Warna



RIWAYAT HIDUP



Indah Ayu Risnah lahir di Garentong, Kabupaten Gowa pada tanggal 03 Februari 1993, anak pertama dari 3 bersaudara dari pasangan H. Saharuddin dan Hj. Masnaeni. Penulis memulai jenjang pendidikannya pada tahun 1999 di SDI Garentong dan lulus pada tahun 2005. Kemudian melanjutkan pendidikan di SMPN 1 Tompobulu dan berhasil lulus pada tahun 2008. Pada tahun yang sama, penulis mulai merantau untuk lanjut di Sekolah Menengah Atas tepatnya di SMAN 1 Pallangga dan berhasil lulus pada tahun 2011.

Pada tahun 2011, penulis kembali melanjutkan pendidikannya ke jenjang S1. Tepatnya di Jurusan Kimia Fakultas Sains dan Teknologi UIN Alauddin Makassar. Selama hampir 5 tahun dengan gelar mahasiswa, penulis aktif pada beberapa organisasi yaitu sebagai Koordinator Divisi Pengkaderan di Himpunan Mahasiswa Jurusan (HMJ) Kimia dan pernah menjabat sebagai wakil bendahara umum di KSR PMI unit 107 UIN Alauddin Makassar. Penulis, berhasil menyelesaikan studinya dan meraih gelar Sarjana Sains (S.Si.) pada tanggal 28 Maret 2016.